

مراحل کانه‌زایی و منشأ آهن کانسار باختری سلطانیه بر اساس شواهد کانی‌شناسی، ساخت، بافت و ژئوشیمی

سمیه شهبازی^۱، مجید قادری^{۲*} و نعمت‌اله رشیدنژاد عمران^۳

^۱ دانشجوی کارشناسی ارشد، گروه زمین‌شناسی، دانشگاه تربیت مدرس، تهران، ایران

^۲ دانشیار، گروه زمین‌شناسی، دانشگاه تربیت مدرس، تهران، ایران

^۳ استادیار، گروه زمین‌شناسی، دانشگاه تربیت مدرس، تهران، ایران

تاریخ پذیرش: ۱۳۹۳/۰۹/۱۱ تاریخ دریافت: ۱۳۹۰/۰۸/۰۴

چکیده

کانسار آهن باشکند در ۱۶ کیلومتری جنوب‌باختری سلطانیه در پهنه ساختاری ایران مرکزی قرار دارد. واحدهای سنگی منطقه شامل سنگ‌های دگرگونه سازند که، گرانیت خرم‌دره و دایک آندرزیتی است. دگرسانی‌های عمدۀ در منطقه، آرژیلی، پاتاسیک، کلریتی، سریسیتی و کوارتز- کربناتی هستند. کانه‌زایی با روند N30-50W و شب ۳۰ درجه به سوی جنوب‌باختر، از لایه‌بندی اولیه، برگوارگی فلیت‌ها و گسل‌های همورون آنها بپروردگاری می‌کند. ماده معدنی در کانسار آهن باشکند، بیشتر به صورت هم‌روند با برگوارگی و باستبرای کمتر از ۱ سانتی‌متر الی ۷ تا ۸ متر و نواهای با پیشینه پهناهی ۵ سانتی‌متر در حدفاصل سنگ‌های کربناتی و آواری دگرگون شده و گاه درون بخش کربناتی تبلور دوباره یافته با عیار متوسط ۵۶ درصد جای گرفته است. پاراژنر کانی‌شناسی منطقه شامل (۱) گروسوالاریت، پیروکسن، ایدوکراز؛ (۲) آذردایت، پیروکسن، فورستریت، فلوگوپیت، مگنتیت و (۳) ترمولیت، سپیانین، اپیدوت، تالک، بیویت، مگنتیت، اسپکیولاریت و سولفیدها است که به‌وسیله رگه‌های کوارتز- کربنات قطع شده‌اند. حضور مگنتیت هم‌زمان با کوارتز و فلدسپار در توده نفوذی، عدم تطابق الگوی رفتاری Fe_2O_3 با SiO_2 و Al_2O_3 و تطابق آن با دیگر اکسیدهای اصلی و عناصر مس و روی، تشابه الگوی توزیع عناصر خاکی کمیاب در ماده معدنی، توده نفوذی و سنگ میزان اسکارنی شده و عدم تشابه با نمونه‌های کمتر دگرسان شده فلیت و متادولوستون، نشانگر تأمین ماده معدنی از سیال‌های منتقل شده از توده نفوذی است که در مرحله متاسوماتیسم پسروندۀ در اثر اختلاط با سیال‌های جوی و افزایش فوگاستیه اکسیژن، منجر به نهشت ماده معدنی شده است.

کلیدواژه‌ها: کانی‌شناسی، متاسوماتیسم پسروندۀ، ژئوشیمی، آهن، اسکارن، باشکند.

***نویسنده مسئول:** مجید قادری

E-mail: mghaderi@modares.ac.ir

۱- پیش‌نوشتار

محدوده معدنی باشکند در ۱۶ کیلومتری جنوب‌باختری سلطانیه در دامنه شمال‌باختری رشته‌کوه سلطانیه، با روند شمال‌باختری- جنوب‌خاوری، قرار گرفته است. در تقسیم‌بندی ساختاری ایران (نبوی، ۱۳۵۵)، منطقه باشکند در زون البرز- آذربایجان قرار دارد. جدیدترین تقسیم‌بندی پهنه‌های ساختاری ایران (Sheikholeslami et al., in press) کوههای طارم قرار می‌دهد، بنابراین رشته‌کوههای سلطانیه، جزو پهنه ایران مرکز به شمار می‌آیند. از جمله دیگر کانسارهای آهن واقع در این رشته‌کوههای می‌توان به کانسارهای ارجین (اندرز، ۱۳۸۵)، شاهبلاغی (مؤمن‌زاده و رشیدنژاد عمران، ۱۳۶۶؛ اسماعیلی، ۱۳۸۵)، گوزلدره (محمدی، ۱۳۹۲)، کردره (کردق) و کوسه‌لر (قرابنی، ۱۳۸۱) اشاره کرد. با توجه به این که پیش از این پژوهش، مطالعه دقیقی به‌ویژه از نظر کانی‌شناسی و کانه‌زنگاری، بافت و ساخت و همچنین رابطه میان کانه و سنگ درونگیر در کانسار آهن باشکند صورت نگرفته بود، بنابراین تعیین پارامترهای فوق و مشخص ساختن عوامل کنترل کننده تمرکز کانه، از اهداف اصلی مطالعه این کانسار بوده است.

۲- روش مطالعه

در این پژوهش، طی بررسی‌های صحرایی، واحدهای مختلف سنگی موجود در منطقه (شکل ۱) شناسایی شد و ژئومتری آنها، انواع شکستگی‌ها و گسل‌های موجود و ارتباط آنها با کانه‌زایی مشخص شد. سپس از واحدهای سنگی و بخش‌های کانه‌دار در مجموع ۲۰۰ نمونه برداشت شد. در مرحله بعد، مقطع نازک از نمونه‌های سنگی مختلف برای انجام مطالعات سنگ‌نگاری و نیز ۵۰ مقطع نازک- صیقلی به‌منظور مطالعه نحوه ارتباط کانه با کانی‌های سنگ‌ساز، و نیز بافت و پاراژنر کانه‌ها در آزمایشگاه بخش زمین‌شناسی دانشگاه تربیت مدرس تهیه شد. ۱۸ نمونه به روش

۳- زمین‌شناسی فاصله‌ای

فلوئورسانس اشعه X (XRF) به منظور تعیین میزان عناصر اصلی و فرعی در آزمایشگاه ALS-Chemex در ونکور کانادا و ۱۳ نمونه در دانشگاه New Brunswick کانادا تجزیه شد (جدول ۱). افزون بر این، ۱۸ نمونه نیز به منظور تعیین میزان عناصر کمیاب (trace) و عناصر خاکی کمیاب (REE) به روش‌های ICP-AES و ICP-MS در آزمایشگاه ALS-Chemex کانادا بررسی شد (جدول ۲).

۴- زمین‌شناسی معدنی

در کوههای سلطانیه، نهشته‌های رسوی پر کامبرین- پالئوزویک و مقدار جزیی مزوژویک و سنوزوییک، به‌طور کامل همارز با البرز (نهشته‌های سازندهای که، بایندر، سلطانیه، باروت، زاگون، لالون، میلا، شمشک، لار و کرج) تشکیل شده‌اند و به‌نظر می‌رسد از پر کامبرین تا ژوراسیک پایانی، حوضه رسوی و واحدی را با البرز تشکیل می‌داده‌اند (Stocklin, 1965). فرازهای سلطانیه، رشته‌کوه کوههای سازندهای سلطانیه و بایندر، فسفات (سازند سلطانیه) و فلدسپار (گرانیت دوران)، از ویژگی‌های معدنی آن است. در فرازهای سلطانیه، سنگ‌های جوان‌تر از اونسن برونزد محدودی دارند و به‌نظر می‌رسد رویداد کوه‌زایی پیرنزن در شکل گیری آن مؤثر بوده است (پایگاه ملی داده‌های علوم‌زمین کشور (www.ngdir.ir)).

۵- زمین‌شناسی اولیه

در باختر و جنوب‌باختری سلطانیه، توده‌های نفوذی نیمه ژرف اسیدی با ترکیب گرانیتی به درون واحدهای رسوی سازندهای که، بایندر و سلطانیه نفوذ کرده است. واحدهای اصلی موجود در منطقه باشکند، از قدیم به جدید عبارتند از (شکل ۱):

ریولیتی است. شاهد این مذکور، حضور زنگریستال‌های کوارتز خلیجی (برجای مانده از مگماهای ریولیتی) است که اطراف آن را پیر و کسن اپیدوتی شده (متعلق به مگماهای آندزیتی - بازالیتی) فرا گرفته است. مگنتیت‌های موجود در این سنگ‌ها، همگی ریزلور و نیمه‌خودشکل بوده و بافت جانشینی نشان می‌دهند. این مگنتیت‌ها، بیشتر با کانی‌هایی مانند ترمولیت و اکتینولیت همراه هستند (شکل ۴).

۵- زمین‌شناسی ساختمانی منطقه

در مطالعات و مشاهدات صحرایی، دو دسته گسل و شکستگی در منطقه شناسایی و مشخص شد: دسته اول امتداد N30-50W و شیب 30° درجه بهسوی جنوب باختر دارند و معمولاً راست بر هستند. بیشتر پهنه‌های کانه‌دار منطقه از روند این گسل‌ها که اتفاقاً روند لایه‌بندی نیز است (از نوع امتداد‌لغز)، پیروی می‌کنند. دسته دوم گسل‌ها که فراوانی کمرتی دارند، حائز روند N30-40E و شیب 60° درجه بهسوی شمال باختر هستند. نمونه بارز این گسل‌ها در حاشیه توده نفوذی، در محل کانسار، دیده می‌شود. بی‌هنگاری ۲ هم‌روند با این گسل‌ها است. در بی‌هنگاری^۳، گسل‌هایی با روند N30E و شیب 80° درجه بهسوی شمال باختر سبب جابه‌جاگی‌های کوچک‌مقیاس در ماده معدنی و سنگ‌های میزان آن شده است.

۶- دگرگونی

شواهد صحرایی و میکروسکوپی موجود، نشان از رخداد دو فاز دگرگونی متفاوت در منطقه است. فاز اول، دگرگونی ناحیه‌ای فراغیری است که تمامی واحدهای سازند که را دستخوش تحول کرده است. شواهد عملکرد این فاز عبارتند از: (۱) برگوارگی کاملاً مشخص فیلیت‌ها در مقیاس‌های ناحیه‌ای، نمونه دستی و میکروسکوپی. (۲) تبلور دوباره و فشردگی بلورهای کوارتز در واحد متاسیلتستون. (۳) وجود بافت الحاق سه‌گانه در بلورهای کوارتز تشکیل‌دهنده فیلیت‌ها. (۴) تبلور دوباره دولومیت‌های لایه‌ای. (۵) تبلور دوباره کوارتزهای تشکیل‌دهنده میان‌لایه‌های ماتوفی، همراه با جهت‌یافته‌گی آنها در امتداد برگوارگی فیلیت‌ها. شواهد این دگرگونی در واحدهای مربوط به سازند بایندر در برسی‌های صحرایی مشاهده نشد. به نظر می‌رسد این دگرگونی درجه پایین ناحیه‌ای، ناشی از عملکرد فاز کوهزایی کاتانگایی در منطقه باشد (آقاباتی، ۱۳۸۳).

فاز دوم، دگرگونی مجاورتی است که در اثر تزریق توده نفوذی نیمه ژرف گرانیتی ایجاد شده است. این دگرگونی، موجب تبلور دوباره و افزایش اندازه بلورهای دولومیت و کوارتز و افزایش درجه دگرگونی ناحیه‌ای شده تا جایی که در مجاورت این توده در بخش شمالی کانسار، فیلیت به بیویت کلریت شیست تبدیل شده و کانی‌های ایدوکراز، گارنت، پیروکسن، آمفیبول و فلوگویت در سنگ‌های کربناتی مجاور توده، تشکیل شده است.

۷- گانه‌ای

کانزه‌ای در محدوده معدنی باشکنند، در حدفاصل واحدهای تخریبی دارای میان‌لایه‌های ماتوف و واحدهای کربناتی دگرگونی، بهویژه در بخش‌هایی که توده نیمه‌ژرف گرانیتی رخنمون دارد، رخ داده است. در این منطقه، هر جا توده نیمه‌ژرف گرانیتی تکتونیزه و دارای بافت پورفیری - میکروگرانولار، درون واحدهای دولومیتی مبلور، متاسیلتستونی و فیلیتی نفوذ کرده، کانزه‌ای صورت گرفته است. ماده معدنی به شکل توده‌ای و همخوان با برگوارگی و دارای طول میان 50 cm تا 80 cm است. سترای آن در بخش‌های دارای بافت توده‌ای $50 \times 50\text{ cm}$ و مطالعات میکروسکوپی امکان‌پذیر است. مجموع طول این دایک‌ها به 2 km می‌رسد. علت تشکیل این درزهای و شکستگی‌های قطع کننده فولیاسیون نیز مکان‌های مناسبی برای کانی‌سازی

۴-۱. واحدهای آواری و دلوستون بر کامبرین با دگرگونی خفیف (سازند کهور)
سنگ‌شناسی عمده این واحدها در منطقه شامل تناوبی از فیلیت و دلوستون تبلور دوباره یافته است که میان‌لایه‌هایی از متاتوف، متاسیلتستون، ماسه‌سنگ دگرگونی و به ندرت شیست دارند. روند عمومی برگوارگی ضعیف (S1) این واحدها که بر لایه‌بندی اولیه (S0) منطبق است، N30-50W و شیب آنها 30° تا 50° درجه بهسوی جنوب باختراست. بدلیل اهمیت واحدهای یادشده در میزانی ماده معدنی، در زیر به بررسی جزئی تر و دقیق تر آنها پرداخته می‌شود.

واحد شیستی (St)، شامل سنگ‌های بیویت کلریت شیست که در بخش شمالی محدوده معدنی در مجاورت بلافضل توده نفوذی نیمه‌ژرف گرانیتی، میزان بخش‌هایی از کانه‌زایی است، در واقع همان واحد فیلیتی است که در مجاورت توده، به صورت شیست ظاهر شده است. مگنتیت و هماتیت موجود در این سنگ در سوی شیستوزیته سنگ قرار گرفته‌اند (شکل ۲). واحد فیلیتی (Ph) اغلب میان‌لایه‌هایی از متادولوستون آهکی را در خود جای داده است. در این واحد، هر جا توده نفوذی اسیدی تزریق شده، آثاری از کانه‌زایی دیده می‌شود. این واحد به شدت تحت تأثیر دگرگسانی‌های کلریتی و سریستی قرار گرفته است. واحد دلوستون آهکی تبلور دوباره یافته (Dn) به رغم طبیعت غالب دلوستونی، به صورت خالص نبوده و میان‌لایه‌های نازکی از فیلیت دارد. بلورهای مگنتیتی موجود در این واحد به شکل پراکنده هستند، ولی طی نمونه‌برداری‌های صحرایی و مطالعات میکروسکوپی مشخص شد که با حرکت بهسوی توده نفوذی، بر میزان کانه موجود در این واحد افزوده می‌شود.

واحد دلوستون آهکی تبلور دوباره یافته با میان‌لایه‌های فیلیت (DP) تنها در بخش‌های خاوری و شمالی بی‌هنگاری 4° و در مجاورت توده نفوذی، رخنمون دارد. میان‌لایه‌های فیلیتی این واحد بسیار بیشتر و ستراتر از واحد Dn است. واحد تناوب دلوستون آهکی تبلور دوباره یافته اسکارانی، فیلیت و متاتوف (Sk)، که حجم اصلی مگنتیت مورد بهره‌برداری را در خود جای داده است، گاهی میان‌لایه‌هایی از متاسیلتستون توفی را نیز دربر دارد. سترای هر یک از این میان‌لایه‌ها میان ۱ سانتی‌متر تا حداقل ۱ متر است. هر جا اثری از توده نفوذی در این واحد دیده می‌شود، کانی سازی هرچند در مقیاس کوچک به موقع پیوسته است. بخش عمده کانی سازی در حدفاصل واحدهای فیلیتی و متادولوستونی و یا واحدهای فیلیتی و متاتوفی کربناتی به موقع پیوسته است. این در حالی است که درون میان‌لایه‌های متاتوفی، میزان مگنتیت بسیار کم است و یا اصلاً وجود ندارد.

۴-۲. واحد کربناتی بر کامبرین (سازند بایندر) (P€br)

واحد یادشده، در جنوبی‌ترین بخش منطقه رخنمون دارد. سنگ‌شناسی عمده سازند بایندر در این منطقه، سنگ‌های آهکی است و بیشترین سترای آن به 10 m می‌رسد. اثری از توده نفوذی و کانه‌زایی در این بخش دیده نمی‌شود، ولی رگههای کلسیتی که سنگ را قطع کرده‌اند، در سراسر این واحد نمایان هستند.

۴-۳. توده نفوذی نیمه‌ژرف اُوسن (گرانیت خرمدره) (g)

در نمونه‌های کمرت دگرگسان شده این واحد، بلورهای مگنتیت، به صورت دانه‌پراکنده و همزمان با دیگر کانی‌های سنگ‌ساز دیده می‌شوند (شکل ۳). نظر به فراوانی اندک بلورهای گارنت، پیروکسن، اپیدوت، ترمولیت و اکتینولیت، می‌توان نتیجه گرفت که گسترش اندواسکارن در منطقه بسیار ناچیز است. (Hassanzadeh et al. 2008)

براساس سن سنجی‌های ایزوتوپی، این توده را به اُوسن پیشین نسبت داده‌اند.

۴-۴. دایک‌های پورفیری درلیتی - دیابازی (Pd)

رخنمون این دایک‌ها در صحرای اندک و نایپوسته است و شناسایی آنها تنها با اتصال قطعات نایپوسته با ابعاد متوسط $50 \times 50\text{ cm}$ و مطالعات میکروسکوپی امکان‌پذیر است. مجموع طول این دایک‌ها به 2 km متر می‌رسد. علت تشکیل این دایک‌های دیابازی، صعود مگماهای آندزیتی بهسوی بالا و اختلاط آن با مگماهای

قیبل اپیدوت، ترمولیت، اکتینولیت، سرپاتنین و تالک تشکیل شده است (شکل‌های ۱۰-۵، ی). بررسی کانه‌زایی آهن در کانسار آهن کلسیمی Vegas Pladas آرژانتین (Pons & Franchini, 2009)، کانسار اسکارن آهن Mengku در چین (Lingang et al., 2010) و کانسار اسکارن آهن Dunde در چین (Duan et al., 2014) یانگ تشکیل حجم اصلی ماده معدنی در این مرحله و در ارتباط با افزایش فوگاسیته اکسیژن در اثر اختلاط با سیال‌های جوی است.

- هماتیت: بخش عده این کانی، به صورت تیغه‌های سوزنی شکل اسپکیولاویرت است. اندازه سوزن‌های اسپکیولاویرت در نمونه‌های دستی به ۲ تا ۳ میلی متر می‌رسد. در بیشتر نمونه‌ها، بلورهای اسپکیولاویرت همزمان با مگنتیت‌های گرمابی نسل سوم تشکیل شده‌اند (شکل ۱۱-الف)؛ ولی گاهی اکسیدشدگی مگنتیت در حاشیه و یا در امتداد رخ‌های آن نیز سبب تشکیل اسپکیولاویرت شده است (شکل ۱۱-ب).

- کالکوپیریت و پیریت: این دو کانی ریزبلور و نیمه خودشکل، به شکل دانه‌پراکنده در زون اسکارن دیده می‌شوند (شکل ۱۲-الف)؛ ولی جایی که تجمع آنها بیشتر است، ژئومتری رگه‌ای دارند که مگنتیت و هماتیت تشکیل شده در مرحله متاسوماتیسم پسروندۀ را قطع می‌کنند (شکل‌های ۱۲-ب، ۷-ج). به طور کلی، فراوانی سولفیدها در کانسار باشکند بسیار کم (کمتر از ۵ درصد) است، با این وجود، مقدار کالکوپیریت بیشتر از پیریت است؛ ولی میزان کانی‌های گوتیت و لپیدوکروسیت نسبتاً زیاد است، بنابراین می‌توان اظهار داشت که در اثر اکسیداسیون شدید، بیشتر کانی‌های سولفیدی، اکسید شده‌اند. به نظر می‌رسد این سولفیدها در مراحل پایانی فاز اسکارن پسروندۀ تشکیل شده‌اند.

- کالکوپیریت و کوولیت: کالکوپیریت در کانسار باشکند، فراوانی بیشتری نسبت به بورنیت دارد. کوولیت حضور کمتری دارد. هر دو این سولفیدها حاشیه اندک کالکوپیریت‌های موجود را فرا گرفته‌اند (شکل ۱۳).

- مالاگیت و آزوپیریت: این کانی‌ها که از دگرسانی و اکسیدشدگی کانی‌های مس به وجود آمده‌اند، را نزگ‌های سبز و آبی لاجوردی در بخش‌های اکسیدان و گاه به صورت رگه-رجچه‌ای مشاهده می‌شوند (شکل ۱۴).

- لیمونیت، گوتیت و لپیدوکروپیت: این کانی‌ها، حاصل هوازدگی کانی‌های سولفیدی آهن (و مس) هستند. عملکرد آب‌های جوی اکسیدان سبب خروج یون گوگرد و جایگزینی آن با اکسیژن و تشکیل کانی‌های یادشده است.

۱-۹. کانی‌های تشکیل شده در مرحله ایزوکمیکال دگرگونی مجاورتی

- ایدوکراز: بلورهای ایدوکراز در نمونه دستی و میکروسکوپی، به شکل شعاعی، با بلورهای گارنت و کلینوپیروکسن موجود در محدوده همبری، هم‌رشدی دارد (شکل ۱۵-الف).

- گارن: گارن‌های تشکیل شده در مرحله دگرگونی مجاورتی، بلورهای نیمه خودشکل دانه‌پراکنده تا توده‌ای داشته و نسبت به گارن‌های تشکیل شده در مرحله متاسوماتیسم پیشرونده کمی درشت تر هستند؛ ولی میزان آنها بسیار کمتر است. چنانچه سنگ‌های اطراف توده نفوذی آهن دار باشند، گارن‌تی که در مرحله هم‌شیمیابی (isochemical) تشکیل می‌شود، از نوع آندرادیت است؛ ولی اگر این سنگ‌ها فاقد آهن باشند، گروسوولاریت تشکیل می‌شود (Meinert et al., 2005).

از آنجایی که گارن‌های تشکیل شده در این مرحله در کانسار باشکند، بر اساس مطالعات XRD از نوع گروسوولاریت است، می‌توان نتیجه گرفت سنگ‌های دگرگونی اطراف توده، آهن دار نبوده‌اند (شکل ۱۵-الف).

- دیوپسید: دیوپسیدهای تشکیل شده در این مرحله، بی‌شکل با بافت دانه‌پراکنده، جانشینی تا توده‌ای هستند و شدت اپیدوتی شدن آنها نسبت به دیوپسیدهای مرحله متاسوماتیسم پیشرونده بیشتر است. از ویژگی‌های بارز گارن‌تی و پیروکسن‌های این مرحله، همراهی آنها با ایدوکراز و عدم همراهی آنها با مگنتیت است (شکل ۱۵-الف).

بوده‌اند، ولی نسبت به مرز میان واحدهای دولوستونی متباور، متاسیلستون و فیلیتی از اهمیت کمتری برخوردارند. کانه‌زایی در این بخش‌ها سبب‌رای کمتر از ۵ سانتی‌متر و درازای کمتر از یک متر دارد.

۸- دگرسانی

مطالعات صحرایی و آزمایشگاهی، نشانگر عملکرد سیال‌های گرمابی و ایجاد انواع دگرسانی‌های زیر است:

دگرسانی آرژیلی، به شکل رگه‌های سفیدرنگ کوچک ولی گسترده‌ای است که گاهی هم روند با برگوارگی واحدهای میزبان است و گاهی ماده معدنی را قطع می‌کند (شکل ۶). به طور میانگین، طول این رگه‌ها کمتر از یک متر و سبب‌رای آنها کمتر از ۵ سانتی‌متر است. بر اساس نتایج XRD، در این دگرسانی، کانی‌های کانولینیت و کلریت تشکیل شده‌اند.

دگرسانی پاتسیک، در مجاورت توده نفوذی، تحت تأثیر حرارت توده، بیویت‌هایی با جهت یافتنگی به موازات برگوارگی فیلیت‌ها تشکیل شده‌اند که بخش‌های تالکی شده فیلیت‌ها را فراگرفته است (شکل ۷-الف). این شار بیویتی، بلورهای کوارتز تبلور دوباره یافته با خاموشی موجی و حاشیه مضرسی زمینه را قطع کرده است، ولی خود بهوسیله رگه‌های کوارتز بعدی دارای خاموشی مستقیم و حاشیه عادی، قطع شده است (شکل ۷-ب). گسترده‌گی دگرسانی پاتسیک در کانسار باشکند چنان زیاد نبوده و تنها در فیلیت‌های مجاور توده نفوذی (در مقیاس میکروسکوپی) مشاهده می‌شود. گفتنی است که شیستهای تشکیل شده در مجاورت توده نفوذی، حاصل عملکرد این دگرسانی است که سبب تبدیل فیلیت به شیسته شده و کانه‌زایی درون آن با این دگرسانی همراه است (شکل ۷-ج).

دگرسانی‌های کلریتی و سریسیتی به شکل دو نسل کلریت و سریسیت دیده می‌شود. نسل اول، حامل کلریت و سریسیت‌های جهت یافته‌ای است که برگوارگی سنگ‌های دگرگون شده را می‌سازد. رنگ سبز این کلریت‌ها، نشانگر وجود منیزیم در ساختار آنها است (Barnes, 1997). نسل دوم، شامل کلریت‌هایی است که از جهت یافنگی فوق پیروی نمی‌کنند و به نظر می‌رسد حاصل عملکرد آخرین فعالیت سیال کانه‌دار باشند. رنگ آبی آنها، بیانگر حضور آهن در ترکیب شیمیابی آنها است (Barnes, 1997). این کلریت‌ها، مگنتیت‌های نسل سوم را دور زده‌اند (شکل ۸-الف). سریسیت‌های نسل دوم متعاقب دگرگونی مجاورتی بوده که در این زمان، شار حرارتی توده سبب رشد سریسیت‌ها و تبدیل آنها به مسکوویت شده است که از طرف سریسیت‌ها و مسکوویت‌های قطع کننده برگوارگی را ایجاد کرده است (شکل ۸-ب). این نسل از سریسیت‌ها و کلریت‌ها، پس از کانه‌زایی تشکیل شده‌اند. کانی‌های تشکیل‌دهنده این دگرسانی‌ها بسیار ریز هستند و تنها با میکروسکوپ قابل مشاهده‌اند؛ ولی در تمامی فیلیت‌ها و واحدهای اسکارنی شده دیده می‌شوند. در انتهای رگه-رجچه‌های کوارتز-کربنات که تمامی واحدهای سنگی منطقه را قطع می‌کنند، پس از عبور از زون کانه‌دار، کانه را بر بشی کرده‌اند (شکل ۹).

۹- کانی‌شناسی ماده معدنی

- مگنتیت: مگنتیت همراه هماتیت (اسپکیولاویرت) کانه اصلی کانسار است. بنابر مشاهدات میکروسکوپی می‌توان سه نسل مگنتیت را در کانسار باشکند، مجزا کرد: نسل اول، بلورهای ریز و بی‌شکل مگنتیت است که درون توده نفوذی و همزمان با کانی‌های سنگ‌ساز آن به شکل دانه‌پراکنده تشکیل شده است (شکل ۱۰-الف، ب). نسل دوم (مرحله اسکارن پیشرونده)، بلورهای دانه‌ریز (شکل‌های ۱۰-ج، د). نسل سوم، فاز اصلی کانه‌زایی در دیوپسید دیده می‌شوند (شکل‌های ۱۰-ج، د). نسل سوم، فاز اصلی کانه‌زایی در منطقه است که همزمان با وقوع متاسوماتیسم پسروندۀ به همراه کانی‌های آب‌دار از

۹-۲. کانی شناسی مرحله متاسوماتیسم

- (۲) زئولیت ($K_5Cs_{3.66}Al_{8.664}Si_{27.336}O_{85.5}H_{58.08}$) با فراوانی ۰/۸ درصد
- (۳) تترادیریت ($Cu_{10.02}S_{12.88}Sb_4$) با فراوانی ۴/۹ درصد
- (۴) مگنتیو فریت ($MgFe_2(O_3)_2$) با فراوانی ۶/۵ درصد.

۱۰- ساخت و بافت

انواع ساخت و بافت‌های مشاهده شده در کانسار باشکنند عبارتند از:

- ساخت و بافت نواری: شامل تناوبی از نوارهای اسکارن، متاتوف و متاسیلتستون به سمترا ۱ تا ۲۰ سانتی‌متر است (شکل ۱۶-الف). نوارهای اسکارنی، مشکل از دیوپسید، گارنت و مگنتیت است که از دو طرف به وسیله نوارهای دارای اپیدوت، ترمولیت، اکتینولیت، مگنتیت و تالک جایگزین شده‌اند (شکل ۱۶-الف). پس از این کانی‌ها، نوارهای متاتوف و یا متاسیلتستون قرار دارند. بافت نواری که در مقیاس ماکروسکوپی دیده می‌شود، شاخص مرحله پیشونده است. چنین بافتی حاصل چرخه فوق اشباع شدگی- هسته‌بندی- تهی شدگی سیال است (Ciobanu & Cook, 2004).

در کانسار باشکنند، سنگ‌های دربرگیرنده، فاقد کانه با بافت اولیه هستند و از طرف دیگر، توده نفوذی کانه‌دار است. تشکیل گروسو لاریت در مرحله دگرگونی هم‌شیمیایی کانسار باشکنند نیز نشان‌دهنده عدم حضور آهن در سنگ‌های میزان توده است. تجزیه‌های ژئوشیمیایی، تشابه رفتاری توده نفوذی و کانه را نشان می‌دهند. گفته‌نی است کانی‌های سنگ‌ساز در فیلت و متاسیلتستون (کوارتز و فلدسپار پتاسیک و کمی پلازیو کلاز)، در متاتوف (کوارتز و اندکی فلدسپار پتاسیک) و در دولوستون متبلور (دولومیت، کلسیت، کمی کوارتز و فلدسپار پتاسیک) نمی‌تواند تأمین کننده آهن لازم برای تشکیل کانسار باشند. آنچه عامل تشکیل این ساخت و بافت خاص است، مانند کانسار اسکارن مس- آهن New Brunswick (Lentz et al., 1995)، لایه‌بندی طریف دولوستون سیلیتی متبلور، فیلت، متاسیلتستون و متاتوف کربناتی است. پس از تزريق، تبلور و سرد شدن توده نفوذی، سیال‌های گرمابی کانه‌دار که حداقل بخشی از آنها از توده مشاً گرفته، درون سنگ‌های دارای لایه‌بندی طریف سنگ‌شناختی اطراف نفوذ کرده‌اند. از آنجایی که سنگ‌های کربناتی، سد ژئوشیمیایی خوبی هستند، سیال‌های فوق با این سنگ‌ها واکنش داده و در آنها کانی سازی کرده‌اند. ولی لایه‌های فیلتی، متاسیلتستونی و متاتوفی، با سیال واکنش نداده و یا واکنش کمی داده‌اند. بنابراین، کانی سازی در این بخش‌ها بسیار اندک و پراکنده است.

با توجه به مطالعه بیان شده، می‌توان نتیجه گرفت ساخت نواری موجود، مانند کانسار Fier-Dogenecea ore field (Ciobanu & Cook, 2004) فرایند متاسوماتیسم پیشونده است. در این فرایند، ابتدا نوارهای دارای کانی‌های بی‌آب (گارنت و پیروکسن)، در بخش‌های واکنش پذیرتر مانند میان‌لایه‌های متادولوستونی تشکیل شده‌اند؛ سپس این کانی‌ها در مرحله متاسوماتیسم پیشونده به کانی‌های ترمولیت، اکتینولیت، تالک و سرپاتین مبدل گشته‌اند (شکل ۱۶-الف).

- ساخت و بافت توده‌ای: ساخت و بافت توده‌ای، بیشترین بخش کانی‌سازی، به‌ویژه اقتصادی را در کانسار باشکنند تشکیل داده است. سمترا آن در بخش‌های مختلف، متفاوت ولی اغلب در محدوده ۰/۵ تا ۸ متر است. مگنتیت و هماتیت (اسپیکولاریت) کانه‌های اصلی هستند (شکل‌های ۱۶-ب، -ج). بخش‌های دارای ساخت و بافت توده‌ای، از اطراف به وسیله گانگ سیلیکاتی شاخص کانی‌سازی اسکارنی مرحله پیشونده (از جمله شامل اپیدوت و تالک) دربرگرفته شده‌اند؛ به گونه‌ای که سمترا تالک گاهی به ۲۰ سانتی‌متر رسید. با توجه به همراهی کانه با کانی‌های سیلیکاتی آبدار، این ساخت و بافت، شاخص متاسوماتیسم پیشونده است (Ciobanu & Cook, 2004).

- گارنت: در کانسار آهن باشکنند، گارنت کانی کمیابی است که همراه کانسنگ و در مرز کانسنگ و توده نفوذی، اغلب درون بخش‌های کربناتی تبلور دوباره یافته و بهمندرت درون توده، در مقیاس میکروسکوپی دیده می‌شود. این کانی تنها در پنج عدد از مقاطع میکروسکوپی مشاهده شد. اندازه بلورهای گارنت موجود درون تبلور دوباره یافته دیده می‌شوند، گاهی تا پنج برابر بلورهای گارنت موجود درون توده است؛ ولی اندازه آنها نیز از حد میکروسکوپی تجاوز نمی‌کند. گارنت این مرحله از نوع آندرادیت است. خودشکل تا نیمه‌خودشکل بودن این بلورها، نشان‌دهنده تشکیل آنها پس از حادثه دگرگونی ناچیه‌ای و در اثر دگرگونی مجاورتی است.

- پیروگسن: در کانسار آهن باشکنند، فراوانی کانی‌های کلینوپیروکسن (نوع دیوپسید) کمی از گارنت بیشتر است و اندازه بلورهای آن نیز اندکی بزرگ‌تر است. این کانی در مرحله پیشونده تشکیل اسکارن و نیز در مرحله دگرگونی مجاورتی، در سنگ کربناتی دگرگونی میزان، در همیری با توده نیمه‌زرف گرانیتی و به میزان بسیار اندک درون توده نفوذی تشکیل شده است. این بلورها، در امتداد کلیواژ، در حال تبدیل به سرپاتین هستند. بلورهای دیوپسید از نظر بافتی متغیرند؛ ولی در بیشتر مواقع به شکل نواری (گاهی در همراهی با گارنت) دیده می‌شوند (شکل‌های ۱۵-ب، -ج). بیشتر آنها به اپیدوت، ترمولیت، اکتینولیت، سرپاتین و تالک تبدیل و بلورهای خودشکل مگنتیت جانشین آن شده‌اند. این بلورها در سنگ‌های کربناتی ناخالص دگرگونی، جانشین بلورهای دولومیت و فلدسپار شده‌اند (شکل ۱۵-د). بر اساس (Oyman 2010) سبب بیشتر پیروکسن به گارنت نشانگر شرایط اکسیدان محیط هنگام تشکیل کانسار است.

- فلوگوییت: با فراوانی اندک به صورت بی‌شکل، مجاور دیوپسید سرپاتینی و اکتینولیتی شده دیده می‌شود (شکل ۱۵-ر).

- سرپاتین: بر اساس مطالعات XRD، این کانی از نوع کلینوکریزوپیل به فرمول $Mg_2Si_2O_5(OH)_4$ است. در مقاطع میکروسکوپی به طور کامل جانشین بلورهای الیون تخم مرغی شکل شده است. همچنین بلورهای دیوپسید نیز در امتداد رخ‌های خود در حال تبدیل به سرپاتین هستند (شکل ۱۵-ن).

- اپیدوت: این کانی به همراه اکتینولیت و ترمولیت، فراوان‌ترین کانی‌ها در زون اسکارنی کانسار آهن باشکنند هستند. در برخی نمونه‌ها، بزرگی بلورهای آن به ۴ تا ۵ میلی‌متر می‌رسد. در زون اسکارنی، بیشتر بلورهای اپیدوت حاصل دگرسانی پیروکسن و گارنت هستند (شکل ۱۵-ه) و وجود اپیدوت، نشان‌دهنده تأثیر محلولهای آهن‌دار است (Shimazaki, 1980). اپیدوت در خود توده گرانیتی بهمندرت یافت می‌شود.

- ترمولیت و اکتینولیت: در زون اسکارنی منطقه باشکنند، این دو کانی همراهی شدیدی با ماده معدنی نشان می‌دهند (شکل ۱۵-و) و در بیشتر نمونه‌ها، بقایای پیروکسن اطراف آنها دیده می‌شود که نشان می‌دهد این بلورها حاصل دگرسانی پیروکسن هستند.

- تالک: این کانی با لمس چرب خود، به خوبی از دیگر کانی‌ها تمایز است. بلورهای کشیده و شعاعی آن گاهی طولی بیش از ۱ سانتی‌متر دارند. کانی یادشده همراهی نزدیکی با ماده معدنی داشته و گاهی آن را قطع می‌کند. تالک بیشتر جانشین کالک‌سیلیکات‌های بدون آب شده است (شکل ۱۵-ی). تالک در اسکارن منیزیمی، حاصل دگرسانی ترمولیت است (Shin & Lee, 2002). در باشکنند نیز اغلب در بخش‌هایی دیده می‌شود که کالک‌سیلیکات‌بدون آب، ابتدا ترمولیتی شده و سپس ترمولیت، به تالک تبدیل شده است.

- مطالعات XRD که روی سنگ‌های اگزواسکارن منطقه انجام شد، حضور کانی‌های زیر را به اثبات رسانید:

(۱) واکسیت $[FeAl_2(PO_4)_2(OH)_2(H_2O)]$

که توده عمده‌تاً گرانیتی در سطوح بسیار کم‌زرفای پوسته و در نزدیکی سطح زمین جایگزین شده است. در این مرحله، بافت‌های پراکنده، جانشینی و تا حدی توده‌ای در کانی‌ها دیده می‌شود.

- متاسوماتیسم پیشوونده (Prograde): در این مرحله، محلول‌های گرمابی ناشی از توده عمده‌تاً گرانیتی خرمدره در مجموعه دگرگونی سازند کهر تراوش کرده و سبب ایجاد کانی‌های آندرادیت، دیپوپسید، فورستریت، ایدوکراز، مگنتیت ریزبلور (نسل دوم) و در واپسین فعالیت‌های این مرحله، بلورهای فلوگوپیت شده است (جدول ۳).

- متاسوماتیسم پیشوونده و نهشت سولفید (Retrograde): به دلیل جایگزینی توده نفوذی خرمدره در ژرفای بسیار کم پوسته، این مرحله از تشکیل اسکارن، گسترش بیشتری نسبت به مراحل قبلی دارد. حجم اصلی کانه‌زایی مگنتیت و همانیت در امتداد برگوارگی و گسل‌های هم‌رونده با برگوارگی در این مرحله اتفاق افتاده است و گارنت و پیروسن تشکیل شده در مرحله قبل، اکتون به‌وسیله مگنتیت و همانیت و کانی‌های آبداری مانند سرپانتین، اپیدوت، تالک، ترمولیت و اکتینولیت جانشین شده‌اند. در واپسین دم این مرحله، کانی‌های سولفیدی، بهوژه کالکوپیریت، تشکیل شده‌اند. بافت‌های مشاهده شده شامل توده‌ای، جانشینی، پراکنده، کروی، برشی، دندربیتی، پرکننده فضای خالی، بازماندی، نواری و رگه- رگچه‌ای هستند.

- هوازدهی: بر اثر فرایندهای سوپرژن، برخی کانی‌ها مانند کالکوسیت و بورنیت، گوتیت، لپیدوکروپسیت، لیمونیت، ملاکیت و آزوژریت تشکیل شده‌اند. بافت‌های مشاهده شده، رگه- رگچه‌ای، بازماندی سولفیدها و کلوفرم هستند.

۱۲- عوامل کنترل کننده کانه‌زایی

۱-۱۲. توده نفوذی

توده آذرین منطقه، نقش بسزایی در تشکیل و تکوین کانسار ایفا کرده است و کانه‌زایی در مجاورت بلافصل آن رخ داده است (شکل‌های ۱ و ۵ - الف). نقش اصلی این توده، ایجاد دگرگونی در منطقه و فعل نمودن فرایندهای متاسوماتیک و نیز تولید سیال‌هایی برای هدایت عناصر فلزی به مکان‌های نهشت کانسنگ بوده است. از طرفی خود این توده، به عنوان منشأی برای عنصر آهن عمل کرده است. براساس مطالعات میکروسکوپی و ژئوشیمیایی، توده نفوذی مسئول اسکارن‌زایی در کانسار آهن باشکند، ترکیب گرانیتی دارد (شکل ۱۷ - الف). با توجه به وجود پورفیرهای فلدسپار در زمینه‌ای از کوارتز و فلدسپار، می‌توان نتیجه گرفت توده فوق در ژرفای کم پوسته جایگزین شده است. بنابراین، هاله دگرگونی مجاورتی ایجاد شده، گستردگی چندانی ندارد؛ ولی متاسوماتیسم و دگرگونی در منطقه بسیار گسترده است. Lee et al. (1998) توده نفوذی کانسار اسکارن آهن میزیمی Janggun جمهوری کره را گرانیت و Sokolov & Grigorev (1977) توده نفوذی کانسار اسکارن آهن میزیمی Teya آمریکا را سینیت و گرانیت معرفی کرده‌اند. از جمله ویژگی‌های جالب توجه در توده نفوذی باشکند، حضور مگنتیت به صورت میان‌دانه‌ای و همزمان با دیگر کانی‌های سنگ‌ساز و به مقدار نسبتاً زیاد در نمونه‌های تازه است که می‌تواند شاهدی بر منشأ آذرین برای آهن است (شکل ۳).

۲- گسل‌ها و شکستگی‌ها

مهم‌ترین گسل موجود در حوالی کوه‌های سلطانیه، گسل معکوس، امتداد‌لغز و راست بر سلطانیه، با امتداد شمال‌باختری- جنوب‌خاوری و شب به‌سوی جنوب‌باختر است. در محدوده کانسار چندین گسل وجود دارد که نقش آنها افزون بر جایه‌جایی واحدهای میزبان کانه‌زایی و بالا‌آوردن توده نفوذی، ایجاد بستر مناسب برای کانه‌زایی بوده است. اغلب این گسل‌ها، امتداد شمال‌باختری- جنوب‌خاوری و شب به‌سوی جنوب‌باختر دارند. این امتداد و شب افزون بر همخوانی با شب و امتداد

- ساخت و بافت رگه- رگچه‌ای: در این ساخت و بافت، رگه- رگچه‌های همانیت و مگنتیت به شکل تصادفی و در جهت‌های مختلف، به صورت محلی، سنگ میزبان اسکارنی شده را قطع کرده‌اند (شکل ۱۶- د). در واقع هر جا سطح ضعف و شکستگی و بازشدگی در سنگ میزبان ایجاد شده، رگچه‌های همانیت و مگنتیت در آنجا تشکیل شده‌اند.

- ساخت و بافت کروی (Orbiular): در برخی از مقاطع، کانی‌های فورستریت و تا حدودی دیپوپسید متعلق به متاسوماتیسم پیشوونده، به‌وسیله سرپانتین جایگزین شده‌اند. همزمان با این پدیده، نوار باریکی از مگنتیت به‌شكل کروی، حاشیه قالب بلورهای فورستریت و دیپوپسید را فراگرفته است (شکل ۱۶- ر).

- ساخت و بافت پراکنده (Spotted): گاهی مگنتیت خودشکل به صورت پراکنده روی کانی‌های سنگ‌ساز متادولوستون دور از توده نفوذی، فیلت، ماسه‌سنگ دگرگونی و متاسیلتستون را فراگرفته است (شکل ۱۶- ط).

- ساخت و بافت دندرنیتی: کانه سازنده این بافت تماماً اسپکولاریت است که در آن لکه‌های پیریت و کالکوپیریت نیز دیده می‌شود (شکل ۱۶- ک). با توجه به همراهی این اسپکولاریت با مگنتیت و کانی‌های آبدار، می‌توان نتیجه گرفت که این مجموعه در مرحله اسکارن پیشوونده تشکیل شده است.

- ساخت و بافت بوشی: رگه- رگچه‌های سیلیسی- کربناتی، حاصل آخرین فعالیت‌های گرمابی سیال کانه‌دار، کانه‌های تشکیل شده در مراحل قبل را خرد کرده و به آنها ظاهر برشی داده است (شکل ۱۶- ن).

- ساخت و بافت پرکننده فضای خالی: گاهی در بخش‌های دورتر از توده نفوذی، فضای خالی ایجاد شده توسط زمین ساخت کششی ناشی از بالا آمدن توده نفوذی، به‌وسیله مگنتیت پر شده است (شکل ۱۶- ه).

- ساخت و بافت جانشینی: جانشینی مگنتیت و کانی‌های آبدار همراه آن، به جای فلدسپارها و دولومیت‌های سنگ‌های میزبان به‌خوبی مشهود است (شکل ۱۶- و).

- بافت بازماندی (Relict): تبدیل کالک‌سیلیکات‌های آبدار به کالک‌سیلیکات‌های بی‌آب و پیریت و کالکوپیریت به لیمونیت، گوتیت و لپیدوکروپسیت، سبب تشکیل این بافت شده است (شکل ۱۶- ی).

۱۱- توالی پارازنزی

با توجه به مطالعات انجام شده، کانه‌سازی در کانسار باشکند در چند مرحله به شرح زیر انجام شده است:

- دگرگونی ناچیه‌ای: پس از تشکیل واحدهای رسوبی سازند کهر در یک محیط دریایی کم‌زرفا و قبل از رسوب گذاری سازندهای جوانتر، رخداد دگرگونی ناچیه‌ای (احتمالاً تحت تأثیر فاز کوه‌زایی کاتانگایی) سبب دگرگون شدن این رسوبات در حد پایینی رخساره شیست سبز شده است. شدت دگرگونی به حدی پایین بوده که تنها سبب تشکیل نسل‌های اول کانی‌های کلریت و سریسیت و تبلور دوباره دولومیت و تا حدی کوارتز شده است.

- قریب‌توقه نفوذی: تزریق توده نفوذی گرانیتی نیمه‌ژرف خرمدره در ترشیری و سپس تبلور آن، منجر به تشکیل بلورهای مگنتیت نسل اول، همزمان با تبلور دیگر کانی‌های سنگ‌ساز شده است.

- دگرگونی هم‌شیمیایی: با نفوذ توده گرانیتی در مجموعه رسوبی دگرگون شده سازنده کهر، دگرگونی مجاورتی رخ داده و کانی‌های کالک‌سیلیکاتی نظیر گروسوولاریت، دیپوپسید و ایدوکراز به شکل ریزبلور و با بافت توده‌ای تشکیل شده‌اند. میزان گروسوولاریت این سنگ بیش از ۸۰ درصد است، بنابراین می‌توان آن را تاکتیت نام نهاد (Bates & Jackson, 1980). هیچ گونه کانی کدری، حتی مگنتیت، در این سنگ دیده نمی‌شود. با توجه به گسترش بسیار اندک هاله دگرگونی مجاورتی و بافت میکروگرانولا- پورفیروییدی توده نفوذی، می‌توان نتیجه گرفت

ذخایر اسکارنی (Meinert et al., 1990) روی ذخایر اسکارن آهن کلسمی بوده که توده نفوذی مولد و همراه، ترکیب حدوداً دارد.

- فراوانی عناصر و اکسیدهای مختلف در زون اسکارنی: برای بررسی نقش فرایند اسکارنی شدن در افزایش یا کاهش برخی اکسیدها به سیستم سنگی، عمود بر روند اسکارنی شدن، ۸ نمونه از بی‌هنجری ۳ (شکل‌های ۲۱ و ۲۱) و ۷ نمونه از بی‌هنجری ۴ (بخش‌های فعال کانسار) برداشت و فراوانی اکسیدهای اصلی و عناصر مس و روی در آنها بررسی شد. گفتنی است که میزان مس در نمونه‌های B65 و B67 بسیار بالا است و خارج از محدوده رسم شده نمودار قرار می‌گیرد.

با افزایش Fe_2O_3 ، اکسیدهای سیلیسیم و آلومینیم روند کاهشی و در مقابل، دیگر اکسیدهای روند افزایشی نشان می‌دهند. افزایش CaO ، MnO و MgO به دلیل تشکیل کانی‌های کالک‌سیلیکاتی نظیر گارنت و پیروکسن است. اکسید آهن با افزایش اسکارنی شدن، افزایش نشان می‌دهد. این امر مبنی آن است که شرایط ژئوشیمیایی برای سیال و کمپلکس‌های حمل کننده آهن به گونه‌ای نبوده که این کمپلکس‌ها ناپایدار شوند و آهن را بر جای گذارند. تمرکز آهن در مکانی است که ویژگی‌های فیزیکو‌شیمیایی برای سیال، تفاوت چشمگیری داشته و چنین شرایطی در همیزی توده گرانیتی با مجموعه فلیت و متادولوستون فراهم بوده است. به محض برخورد سیال کانه‌دار با متادولوستون، pH سیال افزایش یافته و پتانسیل آهن خود را ته‌نشین کرده است. کاهش میزان Al_2O_3 و SiO_2 با افزایش Fe_2O_3 ، نشان دهنده جانشینی کانی‌های گارنت، پیروکسن و فلدسپارهای سنگ میزان به وسیله مگنتیت است. یکی از ویژگی‌های بارز کانسارهای اسکارن میزیمی آهن، که آنها را از دیگر انواع اسکارن تمایز می‌سازد، حضور دو عنصر مس و روی است؛ بنابراین حضور آنها در نمونه‌های ماده معنی، می‌تواند معرف اسکارن آهن میزیمی باشد (Einaudi et al., 1981; Cox & Singer, 1986).

رفتار ژئوشیمیایی عناصر خاکی کمیاب: داده‌های عناصر خاکی کمیاب نمونه‌ها،

بر حسب کندریت (1989) (Sun & McDonough, 1989) بهنجر شده‌اند. همان‌گونه که شکل ۲۲-الف نشان می‌دهد، ماده معنی به مانند توده نفوذی از عناصر غنی و نسبت به عناصر HREE فقیر شده است. بی‌هنجری منفی Eu نیز در هر دو توده نفوذی و ماده معنی مشهود است. بی‌هنجری مثبت Tm ماده معنی، با توجه به تحرک‌پذیری کمتر عناصر HREE می‌تواند برگرفته از بی‌هنجری مثبت آن در سنگ متادولوستون غیردگرسان باشد. عدم تشابه الگوی REE گرانیت و دایک و همچنین کانه‌زایی تأخیری در دایک، نشانه عدم است تقاض آنها از منبع واحد است (Gill, 2010).

بر اساس شکل ۲۲-ب، متادولوستون اسکارنی شده نیز مانند ماده معنی در مقایسه با متادولوستون غیردگرسان، نسبت به عناصر REE غنی‌شدگی نشان می‌دهد. همچنین، هر دو نمونه بی‌هنجری منفی Eu دارند که نشان دهنده تأثیر سیال گرمایی در تشکیل آنها است (Aramburu, 2008). بی‌هنجری مثبت Tm این نمونه‌ها انعکاس دهنده بی‌هنجری مثبت Tm سنگ میزان کربناتی غیردگرسان است. بر اساس شکل ۲۲-ج، فلیت‌های اسکارنی شده، ماسه سنگ دگرگونی و ماده معنی، الگوی رفتاری REE مشابهی دارند. مجموعه این شکل‌ها نشان می‌دهد حداقل بخشی از سیال حامل REE که ایجاد کننده زون اسکارنی است، از نوع ماگمایی بوده و رابطه ژنتیکی تنگاتنگی با توده گرانیتی دارد (Bau, 1991; Lottermoser, 1992).

۱۴- نتیجه‌گیری

حضور مگنتیت همزمان با فلدسپار و کوارتز در توده نفوذی، نشان دهنده نقش توده گرانیتی در تأمین ماده معنی است. همچنین، تشابه رفتاری CaO و MnO و MgO و عدم تشابه رفتاری Al_2O_3 و SiO_2 با Fe_2O_3 ، تشابه الگوی توزیع عناصر خاکی کمیاب در ماده معنی با توزیع این عناصر در توده نفوذی و سنگ‌های اسکارنی، همگی

گسل سلطانیه، با شبیه و امتداد برگوارگی واحدهای میزان کانه‌زایی نیز مطابق است. مهم‌ترین بخش‌های کانه‌دار کانسار، از جمله بی‌هنجری‌های ۱، ۳ و ۴ نیز همین روند و شبیه را نشان می‌دهند. البته گسل‌های دیگری با روند N30-40E و شبیه N60-70W نیز با فراوانی کمتر، وجود دارند که برخی مناطق کانه‌دار از جمله بی‌هنجری ۲ هم روند آنها است (شکل ۱). در تراشه مربوط به بی‌هنجری ۳، دسته درزهایی با روند N30E و شبیه N80W سبب جایه‌جایی‌های کوچک مقیاس در ماده معنی و سنگ‌های میزان آن شده است. این دسته درزهای دارای روند N40-50W را جایه‌جا کرده‌اند. هر دو این دسته درزهای رگه‌ای رگه‌ای را نشان می‌دهند. خردش‌گی شدید و برشی شدن سنگ‌های کربناتی در کناتاکت با رگه‌ها و مناطق کانه‌دار می‌تواند دلیلی بر گسلی بودن برخی از شکستگی‌های واحدهای سنگ‌چینه‌ای منطقه باشد که سپس تحت تأثیر نفوذ سیال‌های گرمایی به درون این شکاف‌ها، کانی‌سازی شکافه‌پرکن با ژئومتری رگه‌ای شکل گرفته است. با این تفاسیر، گسل‌های منطقه نقش مهمی را در ایجاد و تمرکز ذخیره به عهده داشته‌اند.

۱۲- مرز میان لیتولوژی‌ها

بیشتر مناطق کانه‌دار کانسار آهن باشکنند، در سطوح ضعف میان متادولوستون و فلیت‌ها تشکیل شده‌اند. این مسئله در بخش جنوبی بی‌هنجری ۳ که ساخت نواری به زیبایی خودنمایی می‌کند، بیشترین جلوه را یافته است (شکل ۵). در این بخش نوارهای اسکارن، در حدفاصل متادولوستون و فلیت، متاسیلستون و یا هتاوف و درون متادولوستون تشکیل شده‌اند. به نظر می‌رسد این کناتاکت‌ها، بهترین مجراء برای عبور سیال کانه‌دار و ته‌نشست کانه، در مرحله متاسوماتیسم پیشرونده و هم در مرحله متاسوماتیسم پس‌پرونده بوده‌اند. البته ناید فراموش کرد که بیشتر این کناتاکت‌ها گسل هستند. این گسل‌ها سبب جایه‌جایی افقی واحدهای میزان کانه‌زایی شده‌اند. به عبارت دیگر، این گسل‌ها پس از ته‌نشیتی رسوبات میزان فعل شده‌اند.

۱۳- بررسی‌های ژئوشیمیایی

- رده‌بندی سنگ‌های آذرین به روشن (Na₂O+K₂O)/SiO₂: طبق این نمودار، توده نفوذی منطقه در محدوده گرانیت و دایک در محدوده معادل بیرونی گابرو، یعنی بازالت واقع هستند (شکل ۱۷-الف).

- تقسیم‌بندی ژنتیکی توده نفوذی (4): Chappell & White, 1974 (Chappell et al., 2000) از نمودار دوتایی K₂O/Na₂O مشخص است که نمونه‌های برداشت شده از توده نفوذی نیمه‌زرف منطقه باشکنند، در محدوده گرانیتوییدهای نوع I قرار دارند (شکل ۱۷-ب).

- تعیین سری ماقمایی (Irvine & Baragar, 1971): طبق نمودار دوتایی SiO₂ در برابر مجموع آلکالی‌ها (Na₂O+K₂O)، توده نیمه‌زرف منطقه، در قلمرو گرانیتوییدهای ساب‌آلکالن و کالک‌آلکالن و دایک در قلمرو آلکالن قرار می‌گیرد (شکل ۱۷-ج).

- تقسیم‌بندی توده‌های نفوذی بر مبنای موقعیت زمین‌ساختی (Meinert, 1995): بر اساس جایگاه ژئوتکتونیکی توده‌های نفوذی مرتب با اینواع ذخایر اسکارن و نمودارهای REE/Y+Nb و Rb/Y+Nb، توده نفوذی منطقه باشکنند مانند دیگر توده‌های مولد ذخایر اسکارن آهن، در محدوده کمان آشفشانی واقع شده است (شکل ۱۸).

- جایگاه پتروزنیکی توده نفوذی: در بیشتر کانسارهای اسکارن مرتب با فعالیت‌های آذرین، تطابق معناداری میان ترکیب توده نفوذی و نوع ذخیره اسکارن وجود دارد (Meinert et al., 1990). اسکارن‌های آهن معمولاً با توده‌های نفوذی سری مگنتیت اولیه کم‌سیلیس و غنی از آهن مرتب هستند. کانسار باشکنند در محدوده‌ای با سیلیس بالاتر، ولی از نظر مجموعه اکسیدی، هم تراز با اسکارن‌های آهن واقع است. این موضوع می‌تواند به علت تفرقی بیشتر توده نفوذی منطقه و ترکیب گرانیتی آن باشد (شکل ۱۹ و جدول ۴). لازم به یادآوری است بیشتر مطالعات انجام شده در زمینه

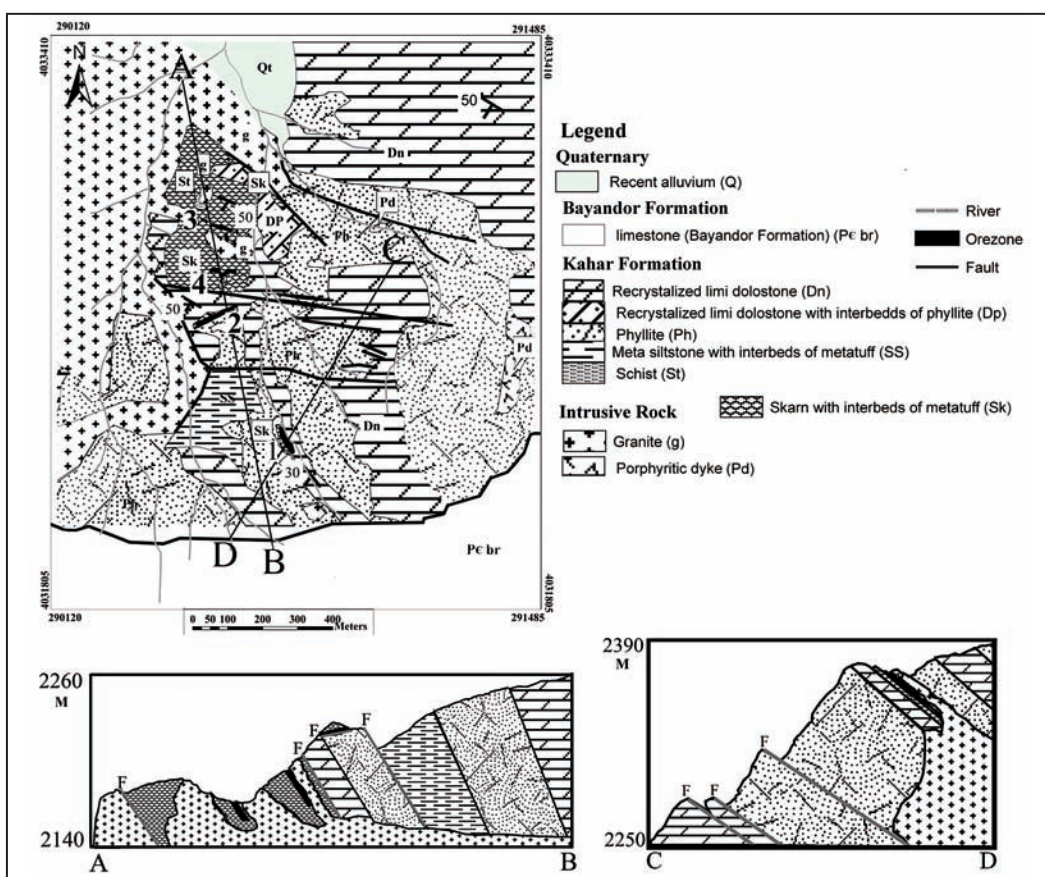
و آواری دگرگون شده سازند کهر، تشکیل دگرگونی مجاورتی و کانه‌زایی نوع اسکارن منیزیمی را، در چند نقطه داده است. در محل تماس توده نفوذی با سنگ منیزیان، دگرگونی مجاورتی، در مقیاس میکروسکوپی تا حد اکثر چند سانتی‌متری، با تشکیل کانی‌های گروسوپولاریت، دیپسید و ایدوکراز به قوع پیوسته است. علت گسترش محدود دگرگونی، تزریق توده گرانیتی در سطوح کم‌ژرف‌پوسه بوده است. وجود بافت پورفیری در توده نفوذی گرانیتی باشکند نیز گویای همین مسئله است.

به‌دلیل گسترش ناچیز دگرگونی مجاورتی و از بین نرفتن برگوارگی سنگ‌های درونگیر، تعیین رخساره دگرگونی مجاورتی دشوار است.

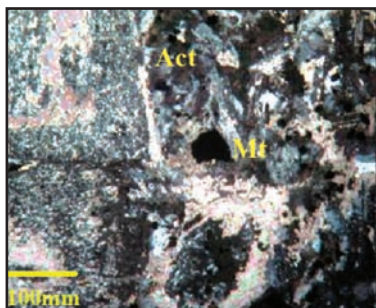
قربانی (۱۳۸۱) منشأ کانسارهای آهن رسوی محور سلطانیه-مهاباد را رسوبی-آتشفسانی و در پیوند با بخش‌های پایین سازند سلطانیه و گاه سنگ‌های آتشفسانی سری قره‌داش می‌داند. این کانسارها عبارتند از کانسارهای آهن ارجین (ناحیه سلطانیه)، جنوب کانسار باشکند، شاه‌بلاغ و کاوند (شمال‌باختری باشکند) در ناحیه جنوب‌باختر زنجان، میرجان- قالیچه بلاغ در ناحیه ماهنشان، علم کندی، چهارتاق در ناحیه تکاب، کوه تکه‌قیاسی در ناحیه سلطانیه، باستان در ناحیه مهاباد و آق‌بلاغ در ناحیه اشنویه. وی معتقد است که این کانسارها در سنگ‌های پر کامبرین پسین-کامبرین پیشین این محور جای گرفته‌اند و همگی ساخت رسوی از خود نشان می‌دهند. ولی بررسی‌های ماشان داد که آنچه که در صحرابه صورت ساخت رسوی دیده می‌شود، در حقیقت ساخت نواری است. تشکیل کانی گروسوپولاریت و عدم تشکیل گارنت‌های آهن دار در مرحله هم‌شیمیابی، عوامل کنترل کننده کانه‌زایی (لزوم حضور توده نفوذی، مرزهای سنگ‌شناصی، گسل‌ها و شکستگی‌ها) همگی گواهی بر کانه‌زایی تیپ اسکارن منیزیمی در ناحیه باشکند هستند. ضمناً با توجه به مطالعات (Hassanzadeh et al. 2008) که سن گرانیت خرم دره را اثوسن پیشین بیان کرده‌اند، بنابراین کانه‌زایی باشکند پس از این رویداد رخ داده است.

گواهی بر نقش فعالیت‌های گرمایی وابسته به توده نفوذی در نهشت ماده معدنی هستند. کانسار آهن باشکند، جزو کانسارهای نوع اسکارن منیزیمی است. در این نوع کانسارهای تقابل میان سیال‌های ماقمایی و سنگ‌های درونگیر، یک محیط گرمایی ماقمایی مناسب برای تشکیل اسکارن و کانسار اسکارنی را ایجاد می‌نماید. در کانسار باشکند، ابتدا با جایگیری توده نفوذی، دگرگونی مجاورتی هم‌شیمیابی رخ داده و در ادامه، به‌دبان تبلور توده نفوذی (تبلور مگنتیت همزمان با دیگر کانی‌های سنگ‌ساز توده نفوذی)، با انتشار سیال ماقمایی، متاسوماتیسم پیشونده رخ داده و نوارهای مشکل از گارنت نوع آندرادیت، دیپسید و مگنتیت تشکیل شده‌اند. شکل‌گیری کانی‌های فوق سبب انسداد مسیر حرکت سیال شده، در نتیجه در هنگام سرد شدن توده نفوذی، فشار لیتواستاتیک افزایش یافته است. سیال‌های ماقمایی در اثر گرادیان فشار به‌سوی برگوارگی، مرز و احدهای سنگی و شکستگی‌هایی که برخی از قبل وجود داشته‌اند و برخی در اثر فشار سیال ایجاد شده‌اند، جریان یافته است. در این مرحله، بر اثر اختلاط سیال ماقمایی با سیال‌های غیر‌ماقمایی و تغییرات فیزیکوشیمیابی، کانی‌های کالک‌سیلیکات آب‌دار، کوارتز، مگنتیت و هماتیت، جانشین کالک‌سیلیکات‌های بی‌آب شده‌اند. حجم اصلی مگنتیت و هماتیت کانسار در فصل مشترک واحدهای متادولوستون و فیلیت و اغلب درون متادولوستون، بر اثر افزایش فوگاسیته اکسیژن برگای گذاشته شده، سپس تنشینی سولفیدها رخ داده است. در مرحله آخر، رگه-رگه‌های کوارتز-کربناتی، ضمن قطع کردن تمامی واحدهای سنگی منطقه، سبب خرد شدن و حمل مگنتیت و تشکیل کانسنگ برپی شده‌اند. گفتنی است کانه‌زایی در کانسار اسکارن آهن کلسیمی (Pons & Franchini, 2009) نیز به همین طریق، در مرحله متاسوماتیسم پیشونده به قوع پیوسته است.

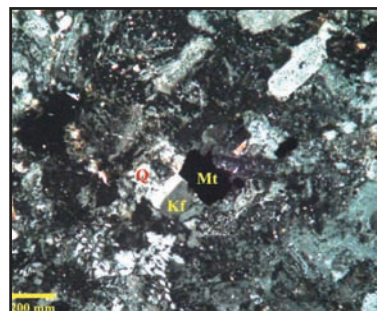
در کانسار باشکند، تزریق توده نفوذی با ترکیب اسیدی در واحدهای کربناتی



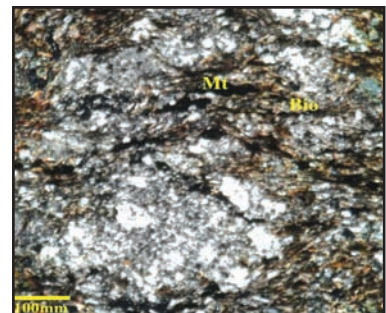
شکل ۱- (الف) نقشه زمین‌شناسی-معدنی محدوده معدنی باشکند مقیاس ۱:۵۰۰۰ (ب) محل مقاطع روی نقشه زمین‌شناسی در امتدادهای A-B و C-D.



شکل ۴- همراهی مگنتیت با اکتینولیت در دایک.

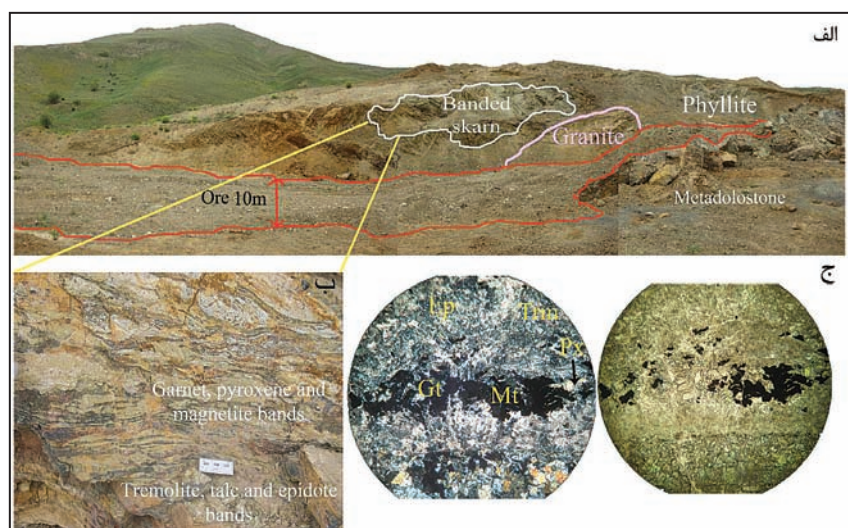


شکل ۳- تشکیل همزمان مگنتیت با کانی‌های کوارتز و فلدسپار سازنده گرانیت.



شکل ۲- کانه‌زایی مگنتیت درون واحد شیست.

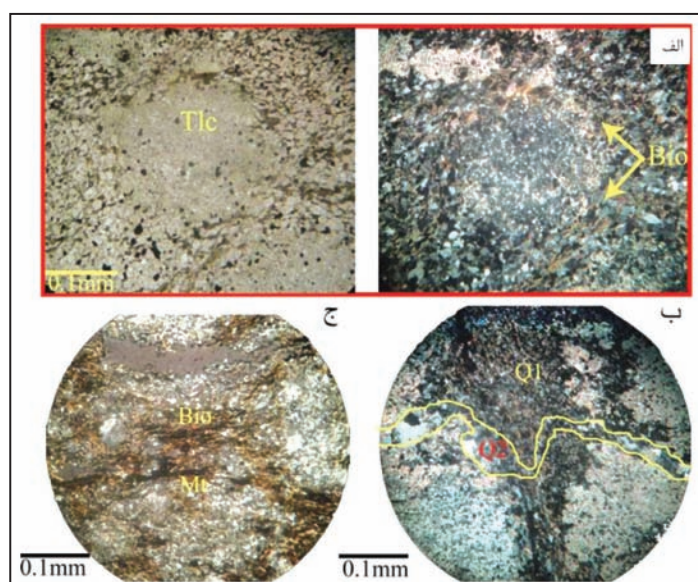
شکل ۵- الف) کانه‌زایی در حد فاصل فیلیت اسکارانی و متادولوستون اسکارانی و در مجاورت توده نفوذی؛ ب) ساخت نواری ماده معدنی، متادولوستون، کالک‌سیلیکات‌ها و متابوتوف؛ ج) بافت نواری کانی و کالک‌سیلیکات‌ها.



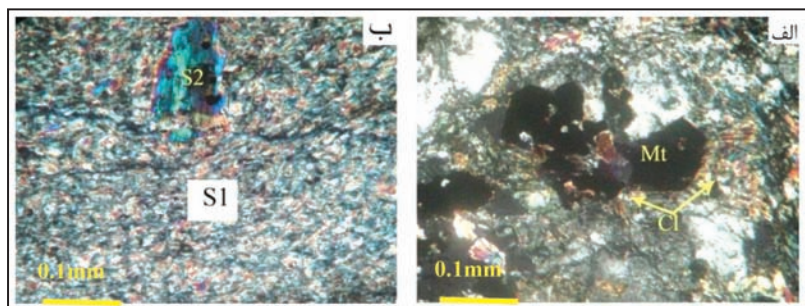
شکل ۶- الف) دگرسانی آرژیلی همروند با برگوارگی دولوستون؛ ب) دگرسانی آرژیلی قطع کننده برگوارگی سنگ‌های میزان و ماده معدنی؛ ج) تصویر میکروسکوپی توده نفوذی که فلدسپارهای آن آرژیلی شده‌اند (نور XPL).



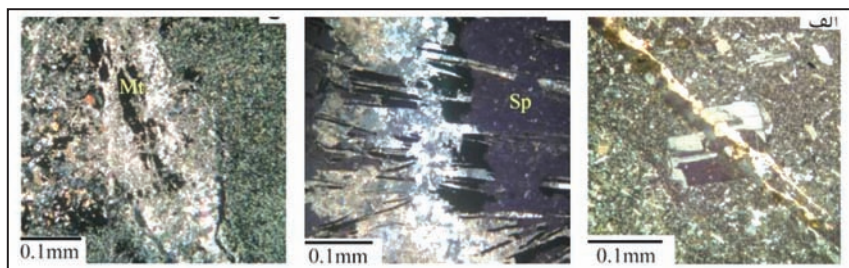
شکل ۷- الف) نمایش ارتباط میان بیوتیت و بخش‌های تالکی شده (سمت راست، نور راست، XPL و سمت چپ، نور PPL)؛ ب) ارتباط میان بیوتیت و انواع کوارتز (نور XPL)؛ ج) همراهی مگنتیت با دگرسانی بیوتیتی در واحد شیست (نور XPL).



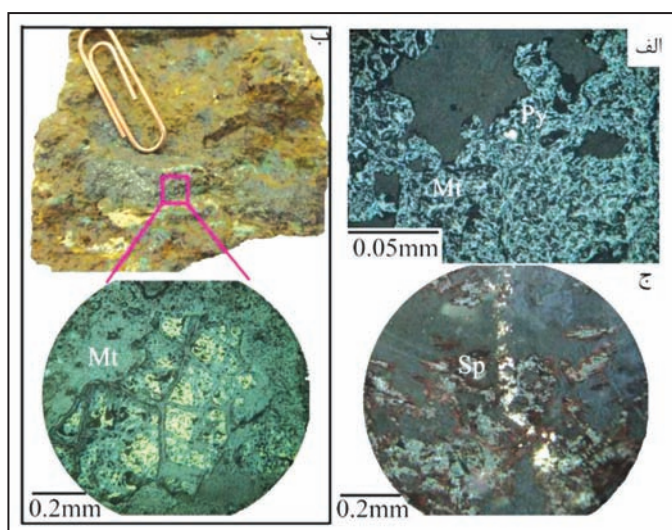
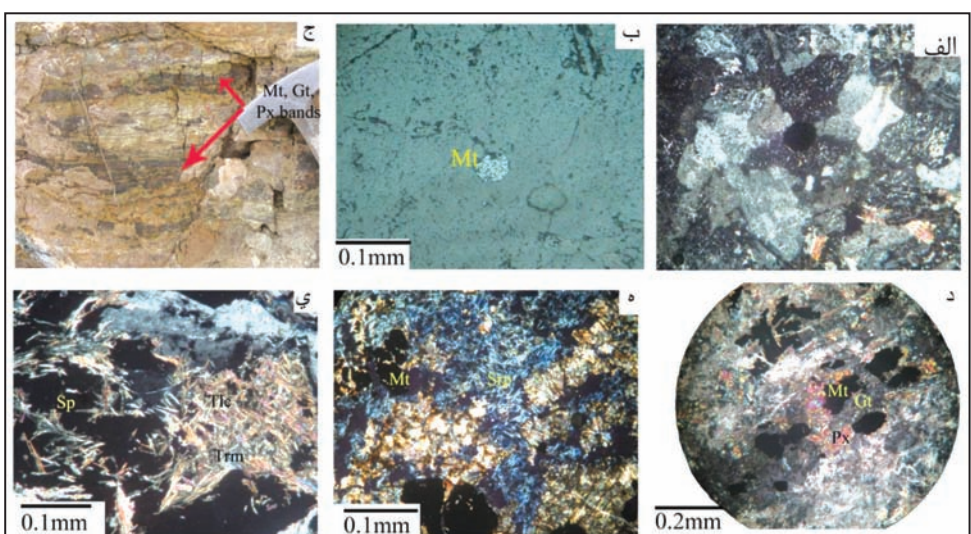
شکل -۸ - الف) کلریت‌های نسل دوم، مگنتیت‌های نسل سوم را دور زده‌اند (نور XPL).
 ب) انواع مختلف سریست، (S1): نسل اول و (S2): نسل دوم (نور XPL).



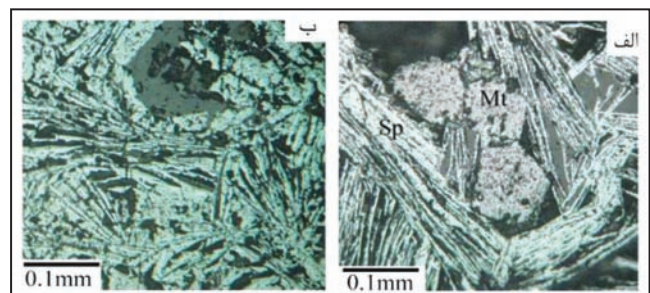
شکل -۹ - الف) قطع شدن فلدسپار موجود در توده نفوذی؛ ب) قطع شدن اسپکیولاریت (Sp) به وسیله رگجه کوارتز- کربناتی؛ ج) حمل قطعات مگنتیت توسط رگه کلسیت (نور XPL).



شکل -۱۰ - انواع مگنتیت در کانسار باشکند.
 الف) همزمان با کانی‌های سنگ‌ساز توده نفوذی (XPL) و ب) نور انعکاسی؛ ج و د) همزمان با گارنت و پیروکسن؛ ه و ی) همزمان با کالک‌سیلیکات‌های آبدار (نور XPL).



شکل -۱۲ - الف) پیریت پراکنده میان بلورهای مگنتیت نسل سوم (Py: پیریت; Mt: مگنتیت)؛ ب) رگه کالکوپیریت قطع کننده مگنتیت؛ ج) رگه کالکوپیریت قطع کننده اسپکیولاریت (Sp: اسپکیولاریت) (نور انعکاسی).

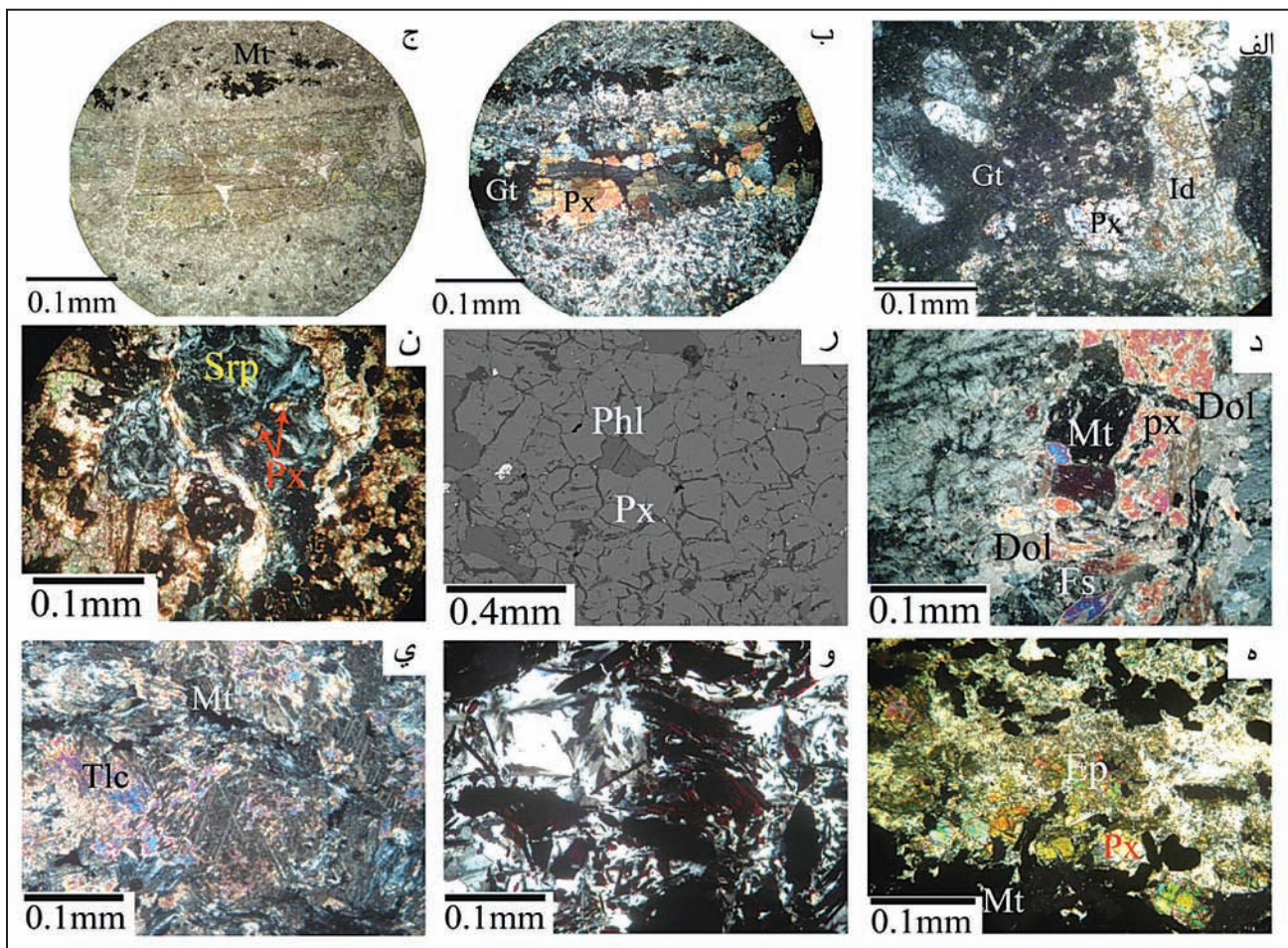


شکل -۱۱ - الف) تشکیل همزمان مگنتیت و اسپکیولاریت؛ ب) تبدیل مگنتیت به اسپکیولاریت (نور انعکاسی).

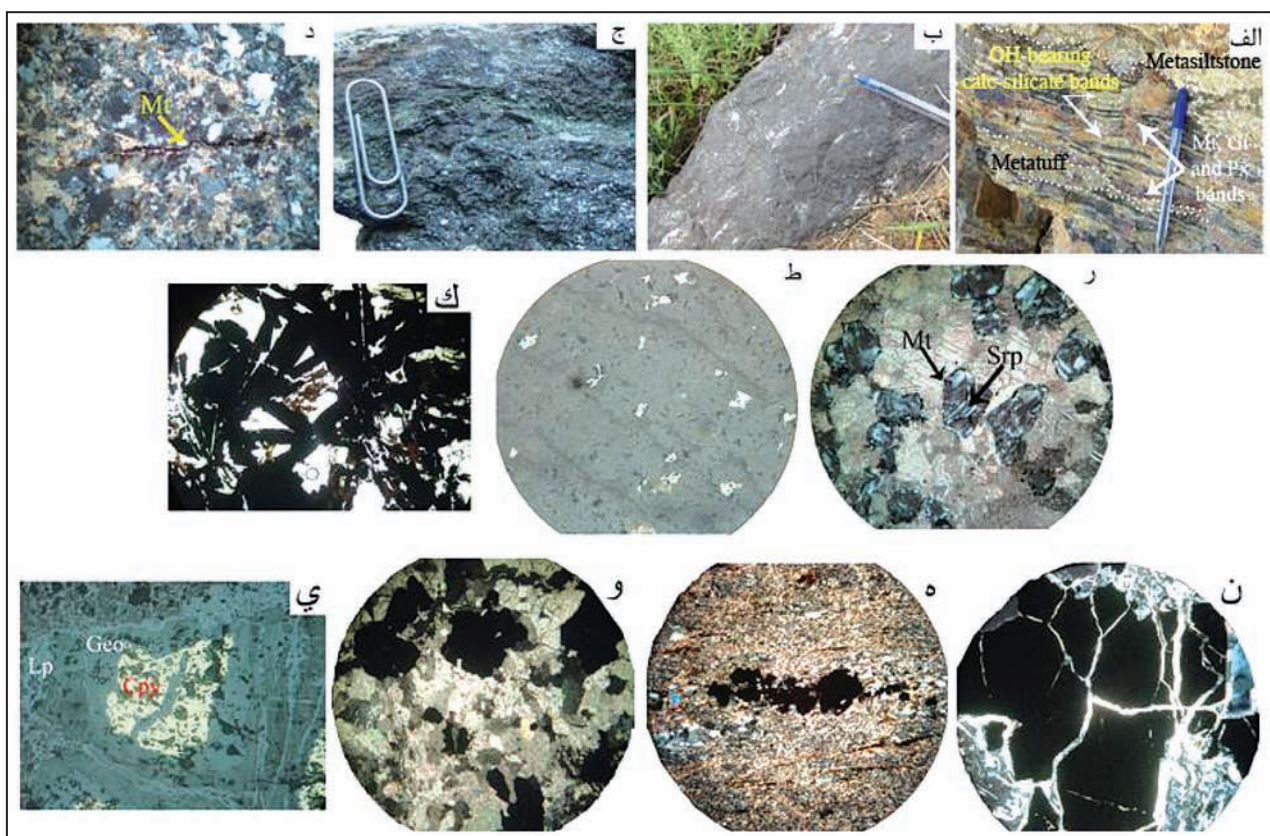


شکل ۱۴- رگهای مالاکیت قطع کننده ماده معدنی.

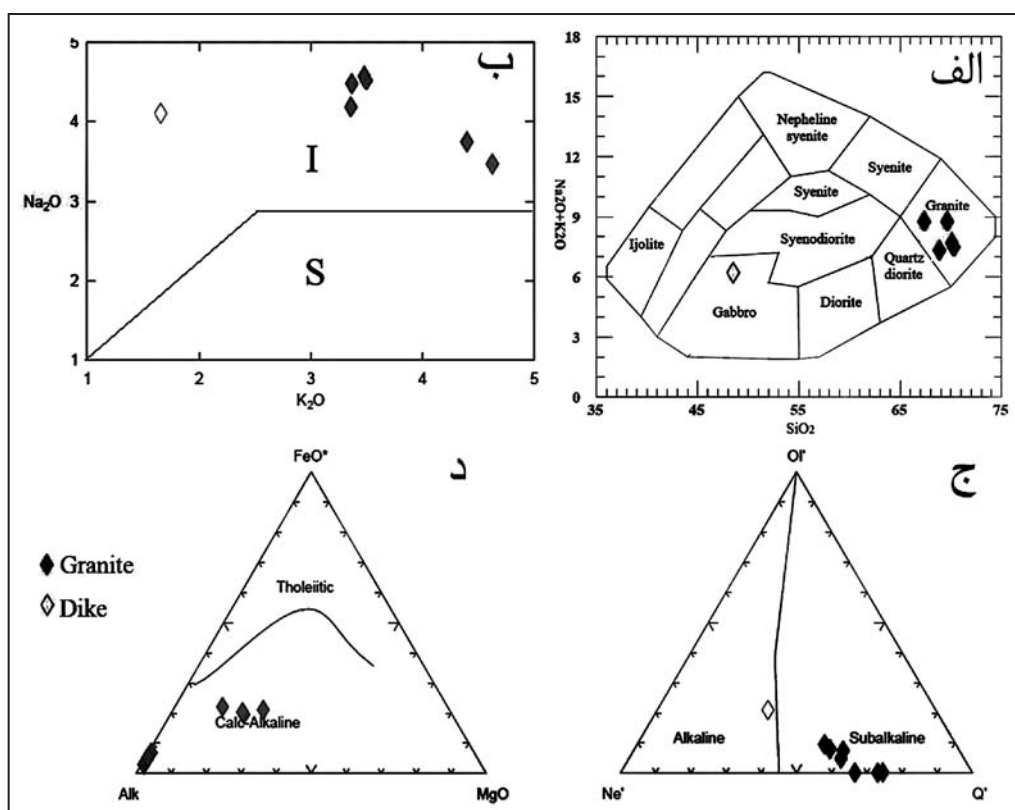
شکل ۱۳- تبدیل کالکوپیریت به کالکوسیت و کوولیت از حاشیه (نور انعکاسی).



شکل ۱۵-الف) همراهی بلورهای ایدوکراز (Id)، گارنت (Grt) و دیوپسید (Di) در مرحله دگرگونی مجاورتی (نور XPL); ب) همرشدی گارنت و پیروکسن (Px) در مرحله متاسوماتیسم پیشرونده (نور XPL); ج) همرشدی گارنت و پیروکسن (Px) در مرحله متاسوماتیسم پیشرونده (نور PPL); د) جانشینی پیروکسن به جای فلدسپار (Fds) و دولومیت (Dol) و مگنتیت (Mt) در پیشرونده (نور XPL); ر) همراهی فلوگوپیت (Phl) و دیوپسید دگرسان شده، تصویر SEM; ن) جانشینی پیروکسن به وسیله سرباتین (نور XPL); ه) جانشینی اپیدوت (Ep) به جای پیروکسن (نور XPL); و) حضور همزمان ترمولیت و مگنتیت (نور XPL); ی) همراهی تالک (Tlc) و مگنتیت (نور XPL).

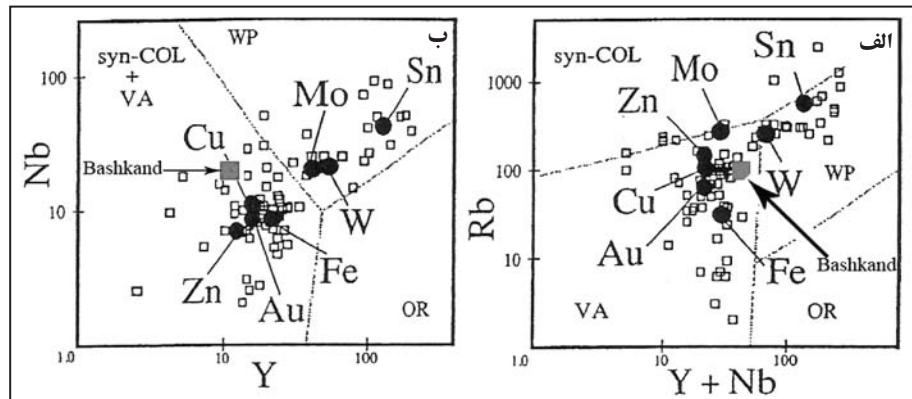


شکل ۱۶- انواع ساخت و بافت کانه در کانسار باشند. الف) نواری؛ ب) تودهای (مگنتیت)؛ ج) تودهای (اسپکیولاریت)؛ د) رگهای (نور XPL)؛ ر) کروی (نور XPL)؛ ط) پراکنده (نور انعکاسی)؛ ک) دندربیتی (نور XPL)؛ ن) برشی (نور XPL)؛ ه) پرکننده فضای خالی؛ و) جانشینی (نور XPL)؛ ۵) بازماندی (نور انعکاسی).

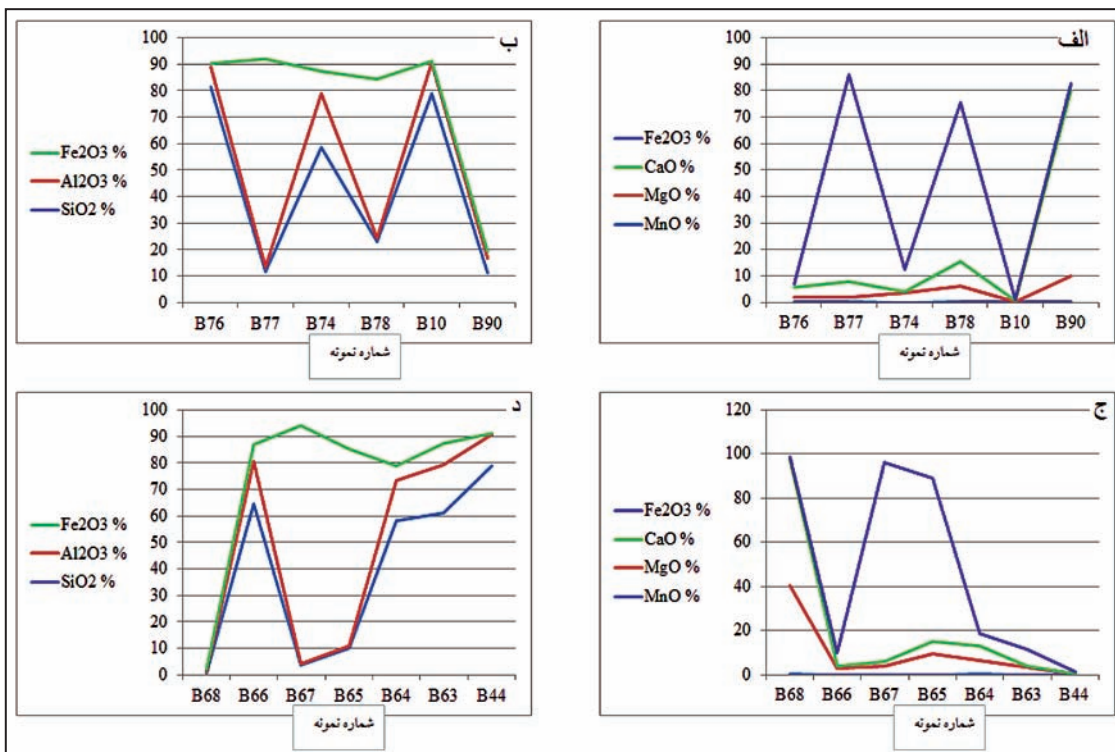
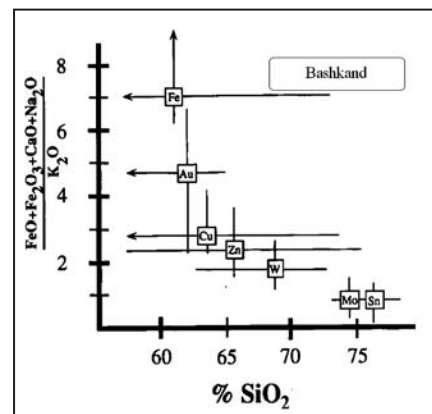


شکل ۱۷- (الف) نام‌گذاری تودهای نفوذی و دایک منطقه روی نمودار $\text{Na}_2\text{O}/\text{K}_2\text{O}$ برای تفکیک گرانیتوییدهای نوع I و S؛ (ب) نمودار Cox et al. (1979) برای تعیین سری ماقمایی.

شکل ۱۸- موقعیت ژنوتکتونیکی توده نفوذی منطقه باشکند و مقایسه آن با انواع دیگر ذخایر اسکارن به ترتیب در (الف) نمودار (Meinert et al., 1995) Rb/Y+Nb (Meinert et al., 1995) Nb/Y

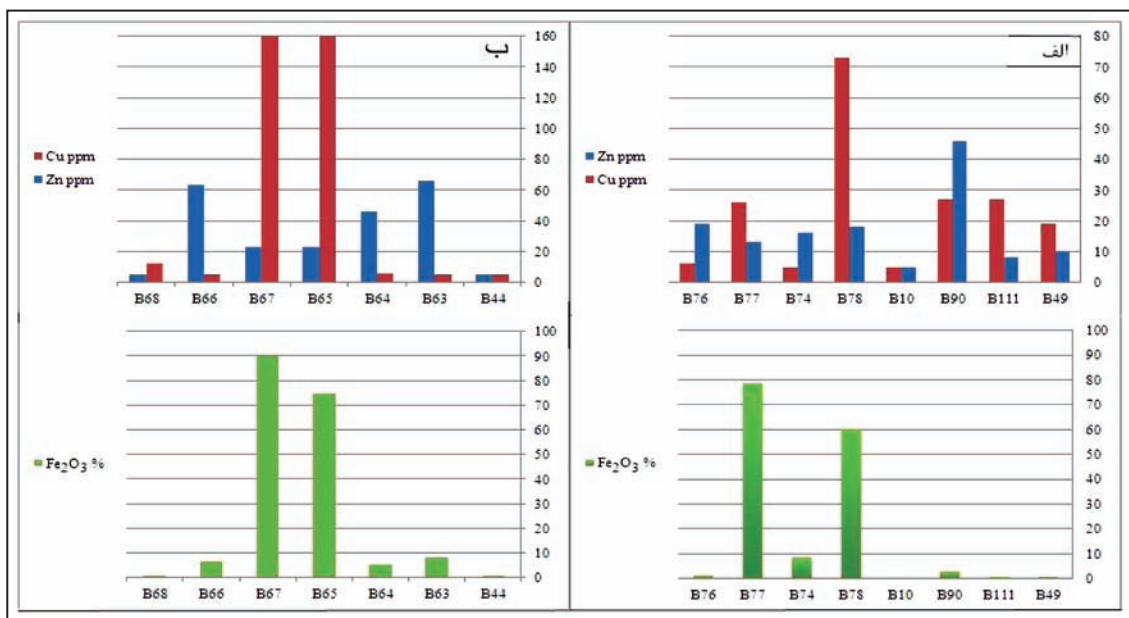


شکل ۱۹- ارتباط میان ترکیب توده نفوذی و انواع ذخایر اسکارن (اقتباس از Meinert et al., 1990)

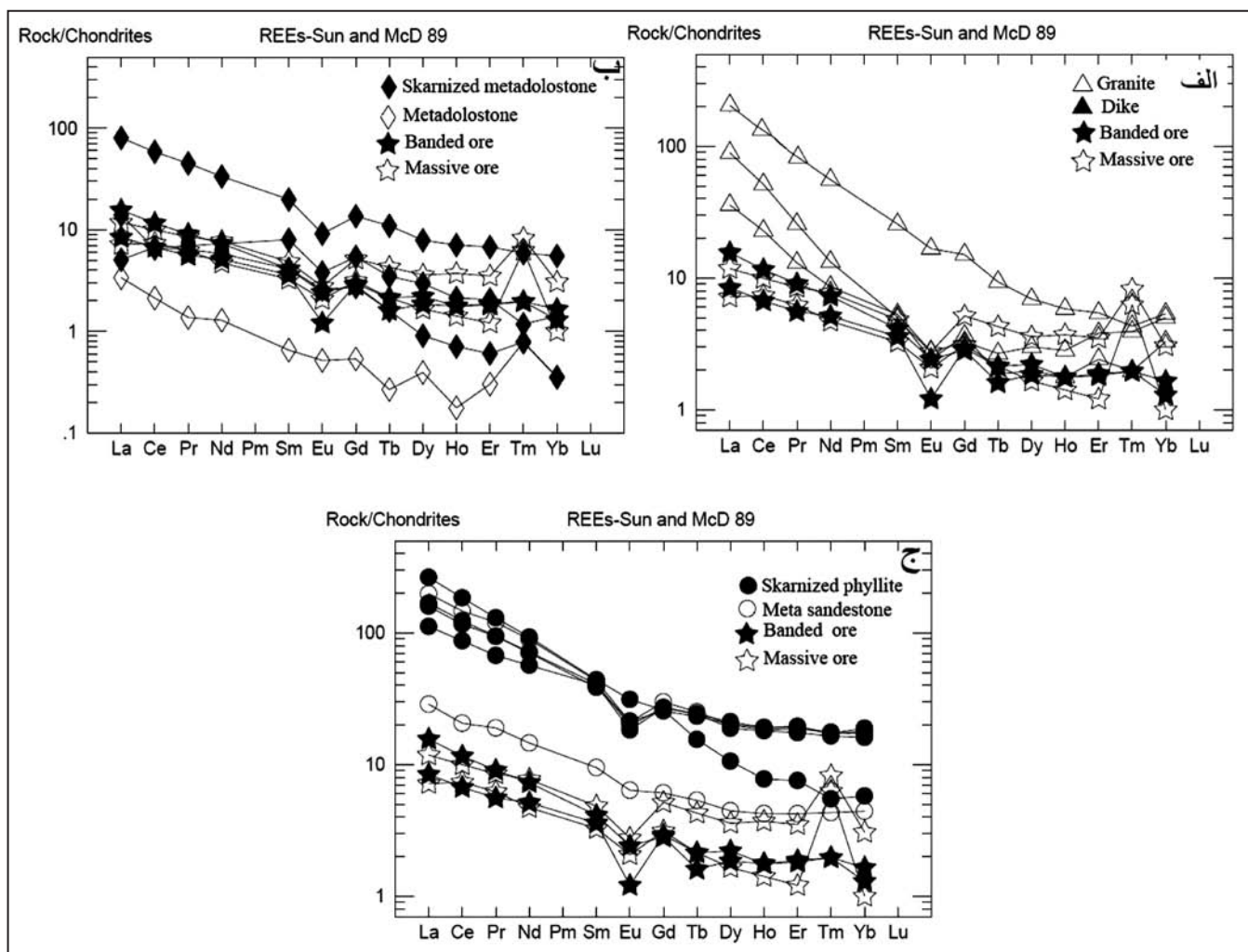


شکل ۲۰- (الف) تشابه رفتار برخی از اکسیدهای اصلی با Fe_2O_3 در سکانس برداشت شده از بی هنجاری Fe_2O_3 و SiO_2 با Al_2O_3 ؛ (ب) تفاوت رفتار Fe_2O_3 در بی هنجاری Fe_2O_3 و SiO_2 با Al_2O_3 ؛ (ج) تشابه رفتار برخی از اکسیدهای اصلی با Fe_2O_3 در سکانس برداشت شده از بی هنجاری Fe_2O_3 و SiO_2 با Al_2O_3 ؛ (د) تفاوت رفتار Fe_2O_3 در بی هنجاری Fe_2O_3 و SiO_2 با Al_2O_3 ؛ ۳: متادولوستون کمر پایین. ۴: توده نفوذی. ۵: ماده معدنی. ۶: میان لایه ماسه سنگ دگر گونه. ۷: ماده معدنی. ۸: ماده معدنی حاشیه زون کانه دار. ۹: فیلت کمر بالا. ۱۰: فیلت کمر پایین. ۱۱: ماده معدنی مرکز زون کانه دار. ۱۲: فیلت کمر بالا. ۱۳: متادولوستون کمر بالا.

B68: متادولوستون کمر بالا.



شکل ۲۱- میزان تغیرات روی و مس در طی فرایند اسکارنی شدن. الف) بی هنجاری ۳؛ ب) بی هنجاری ۴.



شکل ۲۲- الف) نمودار مقایسه‌ای رفتار ژئوشیمیایی کانه و سنگ‌های آذرین منطقه؛ ب) نمودار مقایسه‌ای رفتار ژئوشیمیایی کانه و متادولوستون اسکارنی شده و متادولوستون نسبتاً غیردگرسان؛ ج) نمودار مقایسه‌ای رفتار ژئوشیمیایی کانه، فیلیت اسکارنی شده و ماسه‌سنگ دگرگونه نسبتاً غیردگرسان.

جدول ۱- میزان عناصر اصلی (بر حسب wt%) در واحدهای سنگی منطقه براساس تجزیه‌های XRF (مقادیر به ۱۰۰ رسانده شده‌اند).

	Sample	SiO ₂ %	Al ₂ O ₃ %	Fe ₂ O ₃ %	CaO %	MgO %	Na ₂ O %	K ₂ O %	Cr ₂ O ₃ %	TiO ₂ %	MnO %	P ₂ O ₅ %	SrO %	BaO %	Total %
گرانیت	B10	78.86	11.81	0.28	0.57	0.06	3.75	4.40	0.02	0.07	0.10	0.04	0.01	0.03	100
گرانیت	B32	69.31	14.87	3.07	2.10	1.70	4.50	3.50	0.02	0.47	0.04	0.20	0.08	0.12	100
گرانیت	B44	78.71	11.84	0.67	0.45	0.07	3.47	4.62	0.02	0.08	0.01	0.02	0.01	0.01	100
مدادولوستون نسبتاً غیرد گرسان	B49	5.02	0.19	0.67	56.33	37.49	0.03	0.02	0.02	0.02	0.07	0.12	0.02	0.02	100
فیلیت نسبتاً غیرد گرسان	B63	61.21	18.14	7.92	0.47	3.15	1.26	6.76	0.02	0.77	0.03	0.19	0.01	0.06	100
فیلیت کمرپایین بی هنجاری ۴	B64	58.06	15.49	5.40	6.35	6.56	4.93	1.27	0.03	1.05	0.07	0.61	0.14	0.04	100
ماده معدنی حاشیه زون کانه‌دار بی هنجاری ۴	B65	10.14	0.47	74.49	5.09	9.63	0.02	0.02	0.01	0.04	0.05	0.01	0.01	0.01	100
فیلیت کمربالای بی هنجاری ۴	B66	64.57	15.96	6.43	0.65	3.04	2.14	5.92	0.02	0.86	0.03	0.28	0.02	0.07	100
ماده معدنی مرکز زون کانه‌دار بی هنجاری ۴	B67	3.70	0.25	89.96	2.03	3.93	0.01	0.01	0.01	0.01	0.05	0.01	0.01	0.01	100
مدادولوستون کمربالای بی هنجاری ۴	B68	0.87	0.23	0.87	57.70	39.92	0.02	0.02	0.02	0.02	0.26	0.03	0.04	0.02	100
ماسه سنگ دگرگونه بی هنجاری ۳	B74	58.42	20.58	8.43	0.44	3.62	1.23	6.12	0.02	0.82	0.01	0.22	0.02	0.07	100
ماسه سنگ دگرگونه کمربالای بی هنجاری ۳	B76	81.35	7.64	1.09	3.82	1.86	1.43	2.52	0.02	0.08	0.05	0.04	0.02	0.07	100
ماده معدنی بی هنجاری ۳	B77	11.88	1.65	78.56	5.57	2.07	0.08	0.02	0.01	0.06	0.06	0.01	0.01	0.01	100
ماده معدنی بی هنجاری ۳	B78	23.20	0.97	60.15	8.90	6.28	0.18	0.11	0.01	0.05	0.07	0.04	0.01	0.01	100
دایک	B83	48.59	17.04	12.25	7.80	4.80	4.11	1.66	0.01	2.80	0.16	0.61	0.10	0.07	100
مدادولوستون کمرپایین بی هنجاری ۳	B90	11.13	5.41	2.85	69.94	9.83	0.03	0.02	0.02	0.25	0.27	0.09	0.16	0.02	100
مدادولوستون بی هنجاری ۳	B111	5.27	0.32	0.81	89.34	3.36	0.02	0.02	0.02	0.02	0.72	0.02	0.07	0.02	100
گرانیت	B153	60.71	20.39	5.39	0.63	3.74	3.55	4.54	0.02	0.76	0.02	0.19	0.01	0.05	100
فیلیت کمرپایین بی هنجاری ۳	B51	18.06	2.52	76.03	0.27	2.77	-	0.04	-	0.11	0.14	0.06	-	-	100
ماده معدنی	B78	32.68	-	36.99	13.95	16.26	-	0.02	-	0.03	0.09	0.02	-	-	100
دایک	B83	25.70	-	57.26	1.26	15.71	-	0.01	-	-	0.04	0.01	-	-	100
گرانیت	B100	79.63	-	3.48	3.12	3.37	5.42	4.12	-	0.58	0.05	0.23	-	-	100
گرانیت	B101	76.86	14.02	0.50	0.39	0.06	5.18	2.87	-	0.07	0.01	0.03	-	-	100
ماده معدنی بی هنجاری ۳	B106	24.15	-	41.03	22.84	11.76	-	0.02	-	0.05	0.17	0.01	-	-	100
گرانیت	B108	60.85	16.82	3.78	8.10	1.62	3.38	3.90	-	1.09	0.06	0.39	-	-	100
گرانیت	B110	74.46	8.86	1.72	10.67	0.52	1.28	2.25	-	0.09	0.11	0.04	-	-	100
گرانیت	B122	56.41	23.02	5.04	0.90	5.34	1.81	6.65	-	0.67	0.02	0.14	-	-	100
گرانیت	B123	57.46	20.19	8.77	2.88	3.77	2.86	2.63	-	1.09	0.09	0.26	-	-	100
گرانیت	B41	66.08	14.90	3.50	3.38	3.84	4.52	3.40	-	0.06	0.06	0.25	-	-	100
تائکیت	B46	40.49	12.79	5.83	33.66	5.38	-	0.06	-	0.89	0.51	0.38	-	-	100
گرانیت	B47	68.59	15.26	2.88	2.44	2.57	4.20	3.37	-	0.49	0.03	0.17	-	-	100

جدول ۲- میران عناصر کمیاب و خاکی کمیاب (بر حسب ppm) در واحدهای سنجی منطقه بر اساس تجزیه‌های XRF.

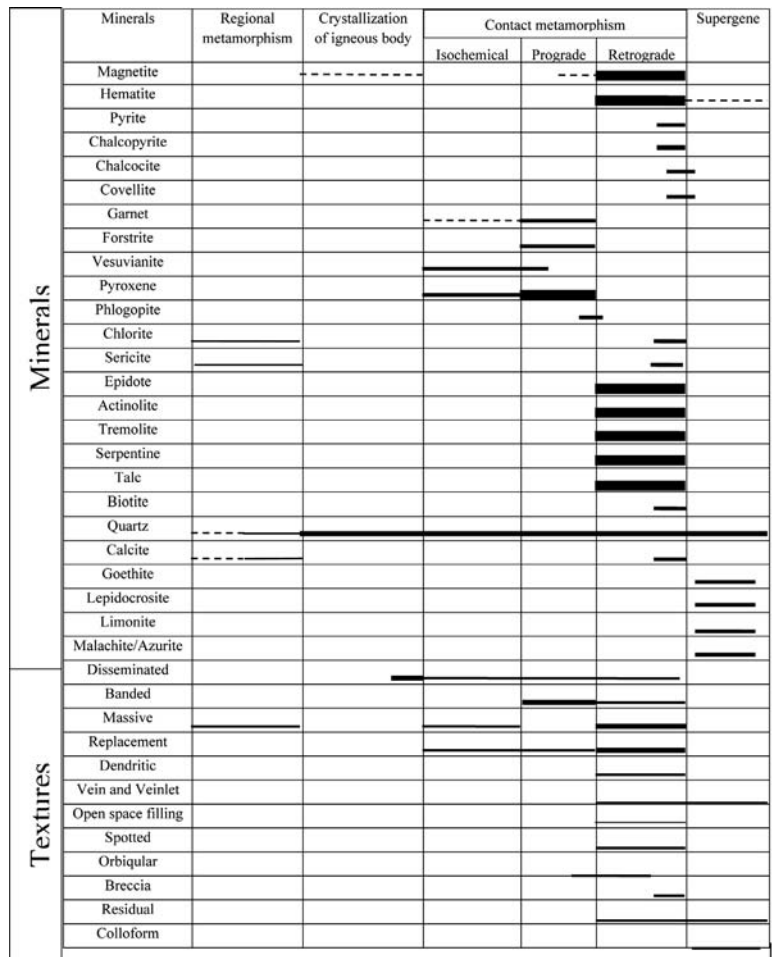
	ID	Ag	As	Ba	Ce	Cl	Co	Cr	Cs	Cu	Dy	Er	Eu	Ga	Gd	Hf	Ho	La	Lu	Mo	Nb	Nd
	ppm	ppm	ppm	ppm	ppm	ppm	ppm	ppm	ppm	ppm	ppm	ppm	ppm	ppm	ppm	ppm	ppm	ppm	ppm	ppm	ppm	ppm
گز است	B44	1	-	51.8	31.5	-	0.8	130	9.96	5	0.5	0.4	0.14	13.6	0.75	2.2	0.1	21.2	0.09	2	11.4	6.2
گز است	B49	1	-	2.3	1.3	-	0.7	10	0.05	19	0.1	0.05	0.03	0.2	0.11	0.2	0.01	0.8	0.01	2	0.2	0.6
گز است	B63	1	-	539	75.7	-	16.3	130	6.21	5	5.14	3.17	1.24	24.6	5.23	4.4	1.08	39.8	0.43	2	12.9	32.9
مادرلستن-نیتریت گریزل	B64	1	-	314	113	-	21.6	200	1.28	6	2.69	1.25	1.81	19.2	5.33	5.3	0.44	62.6	0.13	2	24.8	43.3
فیلت-نیتریت گریزل	B65	1	-	51.9	6.1	-	6.1	10	0.52	1215	0.91	0.58	0.16	2.2	1.06	0.4	0.21	2.8	0.09	2	0.3	3.6
فیلت-کربنات گریزل	B66	1	-	650	53.3	-	18.6	140	3.7	5	5.37	3.23	1.06	23.3	5.57	7.2	1.08	26.5	0.45	2	14.1	26.5
ماده معدنی حاوی زون کاربیدهای خاکی	B67	1	-	38	4.5	-	15.9	10	0.49	10000	0.42	0.2	0.12	3.5	0.64	0.2	0.08	1.7	0.04	2	0.2	2.2
فیلت-کربنات گریزل	B68	1	-	3	4.1	-	2.4	10	0.08	12	0.72	0.34	0.22	0.3	1.11	0.2	0.12	1.2	0.01	2	0.2	3.4
ماده معدنی موکر زدن کاربیدهای خاکی	B74	1	-	583	89.7	-	16.9	100	3.83	5	5.09	3.09	1.22	24.4	6.14	3.7	1.04	47	0.43	2	13.6	41.7
مادرلستن-کربنات گریزل	B76	1	-	624	12.6	-	2.9	110	0.47	6	1.13	0.7	0.37	6.9	1.25	1.2	0.24	6.8	0.12	2	2	6.8
ماده معدنی گرگوئی خاکی	B77	1	-	38.7	7.1	-	4.2	10	0.3	26	0.47	0.3	0.14	5.5	0.58	0.3	0.1	3.7	0.05	2	0.2	3.4
ماده معدنی دیگر گرگوئی به کسر بالا	B78	1	-	49.9	4.1	-	3.4	10	0.1	73	0.56	0.31	0.07	3.1	0.6	0.5	0.1	2	0.05	2	0.6	2.4
ماده معدنی پوششی گرگوئی	B90	1	-	42.4	35.8	-	1.6	20	0.14	27	2	1.12	0.53	4.3	2.79	1.5	0.4	19	0.14	2	2.4	15.6
ماده معدنی پوششی گرگوئی	B111	1	-	119.5	4	-	3	10	0.06	27	0.23	0.1	0.15	0.7	0.56	0.2	0.04	3.3	0.01	3	0.2	2.7
گز است	B153	1	-	438	71.1	-	17.2	120	3.58	62	4.79	2.89	1.15	23.8	5.57	3.5	1.02	37.8	0.42	2	13.2	33.4
مادرلستن-کربنات گرگوئی	B110	1	-	250	14	-	0.8	150	2.59	5	0.76	0.63	0.16	13.1	0.67	3.2	0.16	8.5	0.14	2	12.7	4
مادرلستن-کربنات گرگوئی	B32	1	-	1040	79.7	-	8.4	150	0.95	25	1.76	0.9	0.97	19.9	3.1	5.1	0.33	48.6	0.11	2	22.8	26.1
گز است	B83	1	-	628	72.1	-	23.5	80	1.48	13	4.99	2.63	2.52	20	6.85	3.6	0.97	35.6	0.31	2	34.6	37.3
فیلت-کربنات گرگوئی	B51	-	1	-	34	87	-	21	-	103	-	-	-	4	-	-	-	-	-	3.9	-	
ماده معدنی	B78	-	4	61	38	163	-	22	-	245	-	-	-	-	-	-	-	-	-	2.1	-	
گز است	B83	-	46	-	36	107	-	4	-	14321	-	-	-	-	-	-	-	-	-	2.3	-	
گز است	B100	-	3	1043	63	158	-	42	-	8	-	-	-	18	-	-	-	-	-	23.3	-	
گز است	B101	-	6	160	32	108	-	12	-	-	-	-	-	19	-	-	-	-	-	31.4	-	
ماده معدنی گرگوئی	B106	-	46	133	-	103	-	10	-	376	-	-	-	-	-	-	-	-	-	2.9	-	
گز است	B108	-	9	1640	146	313	-	106	-	36	-	-	-	19	-	-	-	-	-	26.3	-	
گز است	B110	-	4	442	9	94	-	5	-	7	-	-	-	5	-	-	-	-	-	2.3	-	
گز است	B122	-	83	662	85	84	-	121	-	86	-	-	-	29	-	-	-	-	-	13.1	-	
گز است	B123	-	18	2203	95	346	-	90	-	32	-	-	-	24	-	-	-	-	-	27	-	
گز است	B41	-	5	997	129	195	-	64	-	21	-	-	-	18	-	-	-	-	-	23.1	-	
گز است	B46	-	23	204	1407	-	148	-	18	-	-	-	-	8	-	-	-	-	-	22.8	-	
گز است	B47	-	-	1057	55	136	-	36	-	7	-	-	-	18	-	-	-	-	-	20.1	-	

	ID	Ni	Pb	Pr	Rb	S	Sc	Sm	Sn	Sr	Ta	Tb	Th	Tl	Tm	U	V	W	Y	Yb	Zn	Zr
گرانیت	B44	5	27	2.45	188.5	-	-	0.77	1	40.3	1	0.07	30.4	0.5	0.05	3.57	6	11	3.6	0.56	5	56
گرانیت	B49	5	11	0.13	0.2	-	-	0.1	1	63.4	0.1	0.01	0.11	0.5	0.02	0.29	8	1	0.8	0.06	10	3
گرانیت	B63	49	8	8.95	148.5	-	-	5.9	3	99.7	1	0.87	12.9	0.5	0.44	3.09	136	5	27.5	3.02	66	152
متدالوسنون سبنا غیر دگرسان	B64	108	5	12.35	38.6	-	-	6.74	1	1095	1.3	0.58	10.85	0.5	0.14	2.45	1.9	3	11	0.98	46	212
فیلیت سبنا غیر دگرسان	B65	5	6	0.81	1.6	-	-	0.74	1	61.1	0.4	0.16	0.52	0.5	0.21	0.84	12	6	4.7	0.52	23	17
فیلیت کمر پایینی هنجاری ۴	B66	46	9	6.4	115.2	-	-	6.17	3	124.5	1	0.9	11.55	0.5	0.44	2.49	11	5	27.7	3.21	63	262
ماده معدنی حاشیه زون کانداری هنجاری ۴	B67	5	13	0.59	1.1	-	-	0.5	1	73.3	0.4	0.08	0.76	0.5	0.16	2.75	15	7	2.2	0.17	23	8
فیلیت کمر بالای هنجاری ۴	B68	5	5	0.66	0.4	-	-	1.22	1	117.5	0.1	0.13	0.09	0.5	0.03	0.37	6	2	4	0.24	5	2
ماده معدنی مرکوزون کانداری هنجاری	B74	48	5	11.45	118	-	-	6.61	3	165	0.9	0.94	14.45	0.5	0.45	4.31	119	3	30.7	2.89	16	137
متدالوسنون کمر بالای هنجاری ۳	B76	5	5	1.8	48.8	-	-	1.45	1	214	0.1	0.2	1.81	0.5	0.11	0.45	15	9	7.1	0.75	19	49
ماسه سیگ دگر گونه هنجاری ۳	B77	5	5	0.86	1.2	-	--	0.63	1	192	0.1	0.06	0.61	0.5	0.05	1.32	5	26	2.6	0.22	13	19
ماسه سیگ دگر گونه هنجاری ۳	B78	5	8	0.53	2.6	-	-	0.55	2	67.5	0.1	0.08	0.65	0.5	0.05	0.57	9	3	3.6	0.28	18	29
ماده معدنی بی هنجاری ۳	B90	5	5	4.27	0.6	-	-	3.04	1	787	0.2	0.41	3.22	0.5	0.15	3.25	23	1	11.9	0.94	46	58
ماده معدنی بی هنجاری ۳	B111	5	5	0.61	0.4	-	-	0.63	1	353	0.1	0.06	0.14	0.5	0.02	1.96	6	1	1.8	0.06	8	7
دایک	B153	46	9	8.95	115.5	-	-	6.26	3	132.5	0.9	0.91	12.3	0.5	0.42	3.44	120	5	29	2.73	21	129
متدالوسنون کمر پایینی هنجاری ۳	B10	5	11	1.24	130	-	-	0.81	1	87.9	1.2	0.1	21.9	0.5	0.1	4.56	5	11	5.1	0.85	5	70
متدالوسنون کمر پایینی هنجاری ۳	B32	28	18	7.95	74.8	-	-	3.93	1	643	1.6	0.35	18.65	0.5	0.11	3.7	44	9	9.1	0.91	44	199
دایک	B83	36	8	9.18	53.3	-	-	7.8	3	8.8	2.2	1.04	3.77	0.5	0.32	1.17	154	4	26	2.19	100	158
فیلیت کمر پایینی هنجاری ۳	B51	8	159	-	0.5	-	-	-	-	34.6	-	-	-	-	-	1	79	-	3.2	-	501	23.7
ماده معدنی	B78	2	6	-	1.9	-	-	-	-	88.8	-	-	-	-	-	-	-	-	21	-	0.9	-
دایک	B83	-	5	-	0.4	-	-	-	-	3.3	-	-	-	-	-	-	-	3	6	-	1.3	-
گرانیت	B100	18	7	-	84.4	-	-	-	-	647.1	-	-	15	-	-	-	-	-	-46	-	8.3	-
گرانیت	B101	1	12	-	122.7	-	-	-	-	69.4	-	-	17	-	-	5	2	-	6.4	-	-	38.9
ماده معدنی بی هنجاری ۳	B106	-	8	-	1	-	-	-	-	45.6	-	-	-	-	-	2	1	-	1.6	-	11	2
گرانیت	B108	30	8	-	88.7	-	-	-	-	931.1	-	-	16	-	-	1	97	-	11.2	-	8	305
گرانیت	B110	4	4	-	44.1	-	-	-	-	101.8	-	-	3	-	-	-	-	-	23	-	8.4	-
گرانیت	B122	45	23	-	141.4	-	-	-	-	191.6	-	-	12	-	-	6	170	-	22.5	-	7	115.2
گرانیت	B123	25	19	-	56.6	-	-	-	-	1217.8	-	-	12	-	-	3	111	-	32.9	-	35	233.1
گرانیت	B41	21	7	-	79.8	-	-	-	-	606.5	-	-	16	-	-	1	56	-	8.8	-	11	178.5
تاریخ	B46	32	1	-	0.1	-	-	-	-	31.9	-	-	40	-	-	11	56	-	11.1	-	44	145.5
گرانیت	B47	15	12	-	76.8	-	-	-	-	687.4	-	-	15	-	-	2	39	-	7.9	-	2	167.5

جدول ۳- توالی پاراژنزی کانی‌ها و بافت‌های آنها در کانسار باشکنند.

جدول ۴- مقایسه میانگین و محدوده تغیرات اکسیدهای اصلی تودهای نفوذی مولد اسکارن آهن (اقbas از ۱۹۹۵) و گرانیت خرمدره.

داننه توده باشکن	متوسط توده باشکن	محدوده تغیرات	میانگین	اکسیدهای اصلی
Meinert et al. (1995)				
56.41-79.63	68.99	47-75.6	59.3	SiO ₂
8.86-23.02	15.63	12.2-22.7	16.8	Al ₂ O ₃
0.06-1.09	0.46	0.1-3.1	0.8	TiO ₂
0.27-8.77	3.26	0.5-6.5	2.8	Fe ₂ O ₃
0.01-0.09	0.05	0.0-0.6	0.1	MnO
0.38-10.66	2.97	0.9-22.4	7.2	CaO
0.05-3.84	2.22	0.2-7.9	3	MgO
2.25-6.65	3.85	0.2-5.6	2.1	K ₂ O
1.28-5.41	3.66	0.6-7.5	4	Na ₂ O
0.02-0.39	0.16	0.0-1.5	3	P ₂ O ₅



کتابنگاری

- آقاباتی، س.ع.، ۱۳۸۳- زمین‌شناسی ایران، انتشارات سازمان زمین‌شناسی و اکتشافات معدنی کشور.
- اسماعیلی، م.، ۱۳۸۵- کانی‌شناسی، ژئوشیمی و ژئوکانسار آهن شاه‌بلاغی (غرب زنجان)، پایان‌نامه کارشناسی ارشد، دانشگاه شهید بهشتی.
- اندرز، ف.، ۱۳۸۵- بررسی کانی‌شناسی و عوامل کنترل کننده کانی‌زایی آهن اسکارنی تیپ میزیم‌دار در منطقه میزالیزه ارجین واقع در شرق زنجان (استان زنجان)، پایان‌نامه کارشناسی ارشد دانشگاه آزاد اسلامی واحد علوم و تحقیقات.
- پایگاه ملی داده‌های علوم‌زمین کشور (www.ngdir.ir).
- قربانی، م.، ۱۳۸۱- دیباچه‌ای بر زمین‌شناسی اقتصادی ایران، پایگاه ملی داده‌های علوم‌زمین کشور.
- محمدی، ف.، ۱۳۹۲- مطالعه کانی‌شناسی، ژئوشیمی و نحوه تشکیل کانسار آهن گوزل دره، جنوب شرق زنجان، پایان‌نامه کارشناسی ارشد، دانشگاه پیام نور تهران.
- مؤمن‌زاده، م. و رشیدنژاد عمران، ن.، ۱۳۶۶- گزارش بازدید اثر معدنی آهن شاه‌بلاغ (کوه‌های سلطانی- غرب زنجان)، سازمان زمین‌شناسی کشور ۱۲ صفحه.
- نبوی، م.ح.، ۱۳۵۵- دیباچه‌ای بر زمین‌شناسی ایران، سازمان زمین‌شناسی کشور.

References

- Aramburu, A. D. E., 2008- Patterns of distal alteration zonation around Antamina Cu-Zn skarn and Uchucchacua Ag-base metal vein deposits, Peru: mineralogical, chemical and isotopic evidence for fluid composition, and infiltration, and implications for mineral exploration, PhD thesis, University of British Columbia, 788 p.
- Barnes, H. L., 1997- Geochemistry of Hydrothermal Ore Deposits. 3rd ed., John Wiley & Sons, 797 p.
- Bates, R. & Jackson, J. A., 1980- Glossary of Geology, American Geological Institute, p. 751.
- Bau, M., 1991- Rare earth mobility during hydrothermal and metamorphic fluid-rock interaction and the significance of the oxidation state of europium, Chemical Geology, v. 93, p. 219-230.

- Chappell, B. J. & White, A. J. R., 1974- Two contrasting granite types, *Pacific Geology* v. 8, p. 173-174.
- Chappell, B. W., White, A. J. R., Williams, I. S., Wyborn, D. & Wyborn, L. A. I., 2000- Lachlan Fold Belt granites revisited: high- and low-temperature granites and their implications, *Australian Journal of Earth Sciences* v.47, p. 123-138.
- Ciobanu, C. L. & Cook, N. J., 2004- Skarn textures and a case study: the Ocna de Fier - Dognecea ore field, Banat, Romania, *Ore Geology Reviews* v.24, p. 315-370.
- Cox, D. P. & Singer, D. A., 1986, Mineral deposit models, U.S. Geological Survey Bulletin, 379 p.
- Cox, K. G., Bell, J. D. & Pankhurst, R. J., 1979- The Interpretation of Igneous Rocks, London, Allen and Unwin, 450 p.
- Duan, S., Zhang, Z., Jiang, Z., Zhao, J., Zhang, Y., Li, F. & Tian, J., 2014- Geology, geochemistry, and geochronology of the Dunde iron-zinc ore deposit in western Tianshan, China", *Ore Geology Reviews*, v. 57, p. 441-461.
- Einaudi, M. T., Meinert, L. D. & Newberry, R. J., 1981- Skarn deposits, *Economic Geology*, 75th Anniversary Volume, p. 317-391.
- Gill, R., 2010- Igneous Rocks and Processes: A Practical Guide, John Wiley & Sons, 428 p.
- Hassanzadeh, J., Stockli, D. F., Horton, B. K., Axen, G. J., Stockli, L. D., Grove, M., Schmit, A. K. & Walker, J. D., 2008- U-Pb zircon geochronology of late Neoproterozoic – early Cambrian granitoids in Iran: Implications for paleogeography, magmatism, and exhumation history of Iranian basement, *Tectonophysics*, v. 451, p. 71-96.
- Irvine, T. N. & Baragar W. R. A., 1971- A guide to the chemical classification of the common volcanic rocks, *Can. J. Earth Sci.* v. 8, p. 523-548.
- Lee, C. H., Lee, H. K. & Kim, S. J., 1998- Geochemistry and mineralization age of magnesian skarn-type iron deposits of the Janggun mine, Republic of Korea, *Mineralium Deposita*, v. 33, p. 379-390.
- Lentz, D. R., Walker, J. A. & Stirling, J. A. R., 1995- Millstream Cu-Fe skarn deposit: an example of a Cu-bearing magnetite-rich skarn system in northern New Brunswick, *Exploration and Mining Geology*, v. 4, p. 15-31.
- Lingang, X., Jingwen, M., Fuquan, Y., Hennig, D. & Jianmin, Z., 2010- Geology, geochemistry and age constraints on the Mengku skarn iron deposit in Xinjiang Altai, NW China, *Journal of Asian Earth Sciences*, v. 39, p. 423-440.
- Lottermoser, B. G., 1992- Rare earth elements and hydrothermal ore formation processes: *Ore Geology Reviews*, v. 7, p. 25-45.
- Meinert, L. D., 1995- Magmas, fluids and ore deposits, *Mineralogical Association of Canada, Short Course Series* 23, p. 401-418.
- Meinert, L. D., Brooks, J. W. & Myers, G. L., 1990- Whole rock geochemistry and contrast among skarn-types: in Meinert, L.D. (ed.), *Skarn deposits in Nevada, Great Basin Symposium, Geology and ore deposits of the Great Basin: Geological Society of Nevada, Fieldtrip 2, Guide book*, p. 179-192.
- Meinert, L. D., Dipple, G. M. & Niculescu, S., 2005- World skarn deposits, *Economic Geology* 100th Anniversary Volume, p. 299-336.
- Oyman, T., 2010- Geochemistry, mineralogy and genesis of the Ayazmant Fe-Cu skarn deposit in Ayvalik, (Balikesir), Turkey, *Ore Geology Reviews*, v. 37, p. 175-201.
- Pons, J. M. & Franchini, M., 2009- Iron skarns of the Vegas Peladas district, Mendoza, Argentina, *Economic Geology*, v. 104, p. 157-184.
- Sheikholeslami, M. R., Aghanabati, A., Vahdati, F., Sahandi, M. R., Amini, B. & Jafarian, M. B., in press- Structural Zones of Iran. *Geological Survey of Iran*.
- Shimazaki, H., 1980- Characteristics of skarn deposits and related acid magmatism in Japan, *Economic Geology*, v. 75, p. 173-183.
- Shin, D. & Lee, I., 2002- Carbonate-hosted talc deposits in the contact aureole of an igneous intrusion (Hwanggangri mineralized zone, South Korea): Geochemistry, phase relationships, and stable isotope studies, *Ore Geology Reviews*, v. 22, p. 17-39.
- Sokolov, G. A. & Grigor'ev, V. M., 1977- Deposits of iron, in Smirnov, V.I. (ed.), *Ore deposits of the USSR*: London, Pittman 1, p. 7-113.
- Stocklin, J., 1965- Geology and mineral resources of the Soltanieh mountains (northwest Iran), *Geological Survey of Iran*.
- Sun, S. S. & McDonough, W. F., 1989- Chemical and isotopic systematics of oceanic basalts: implications for mantle composition and processes, *Geol. Soc. Lon., Spec. Pub.* 42, p. 313-345.